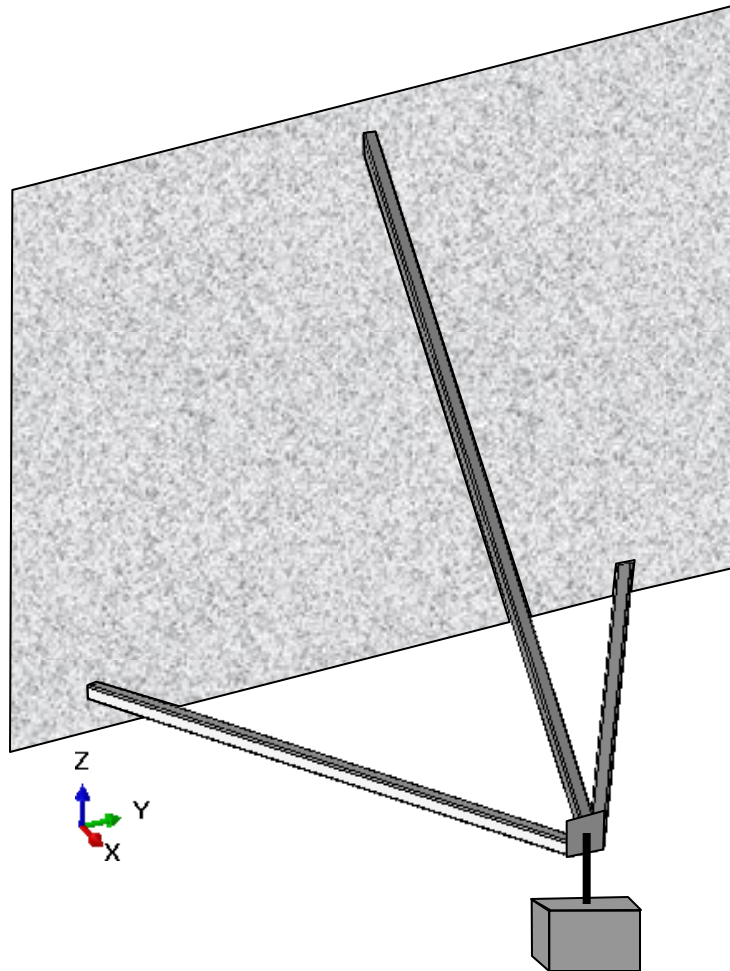
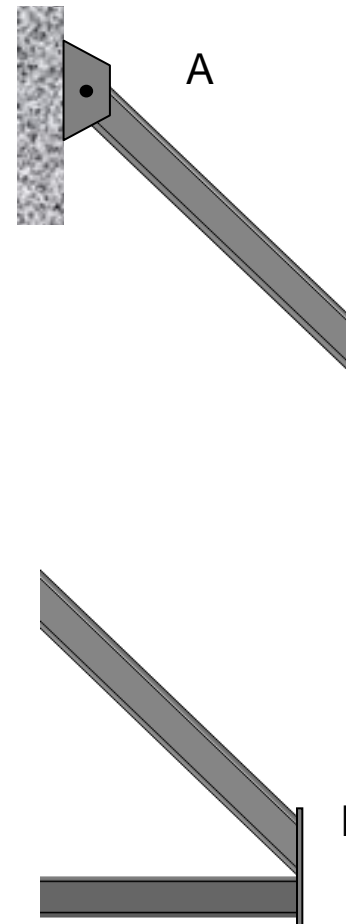
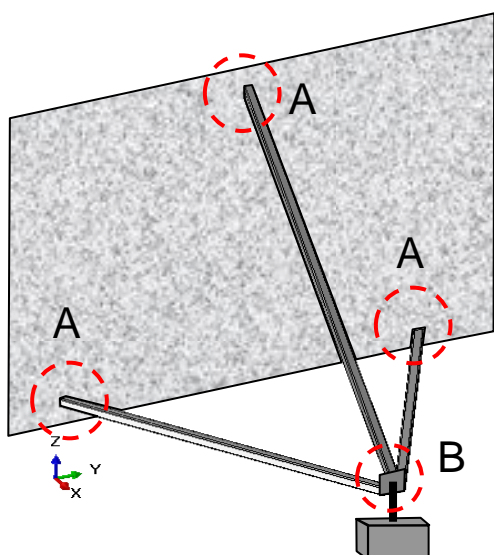




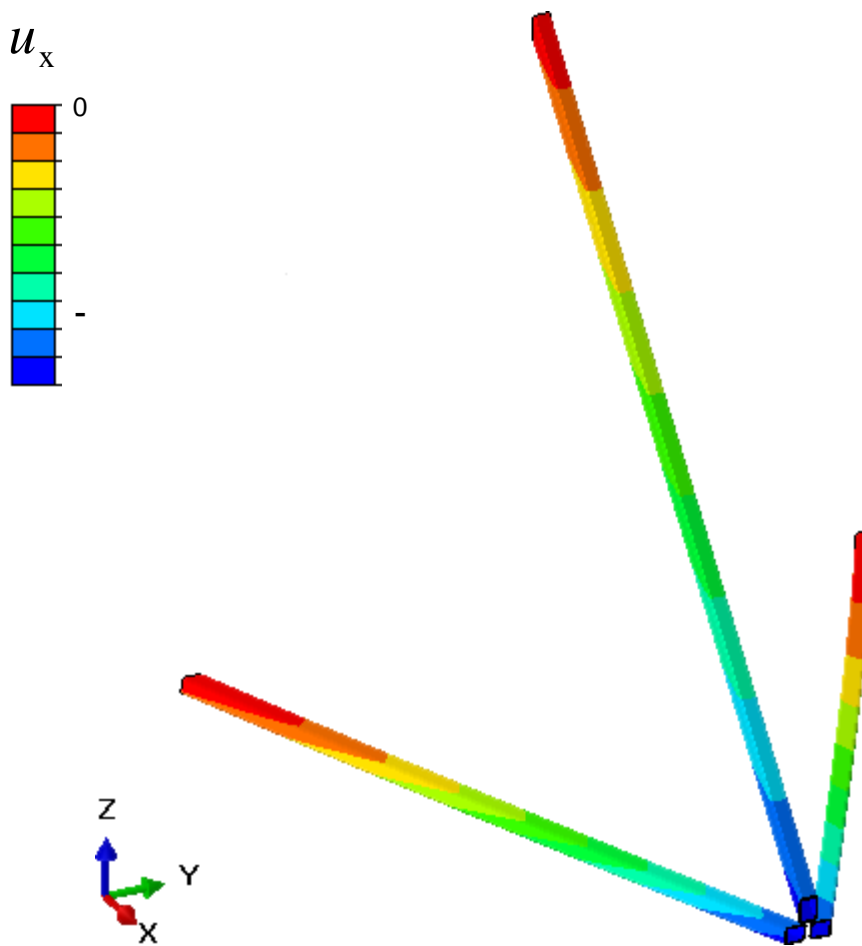
- primer reševanja volumskega mehanskega problema z MKE



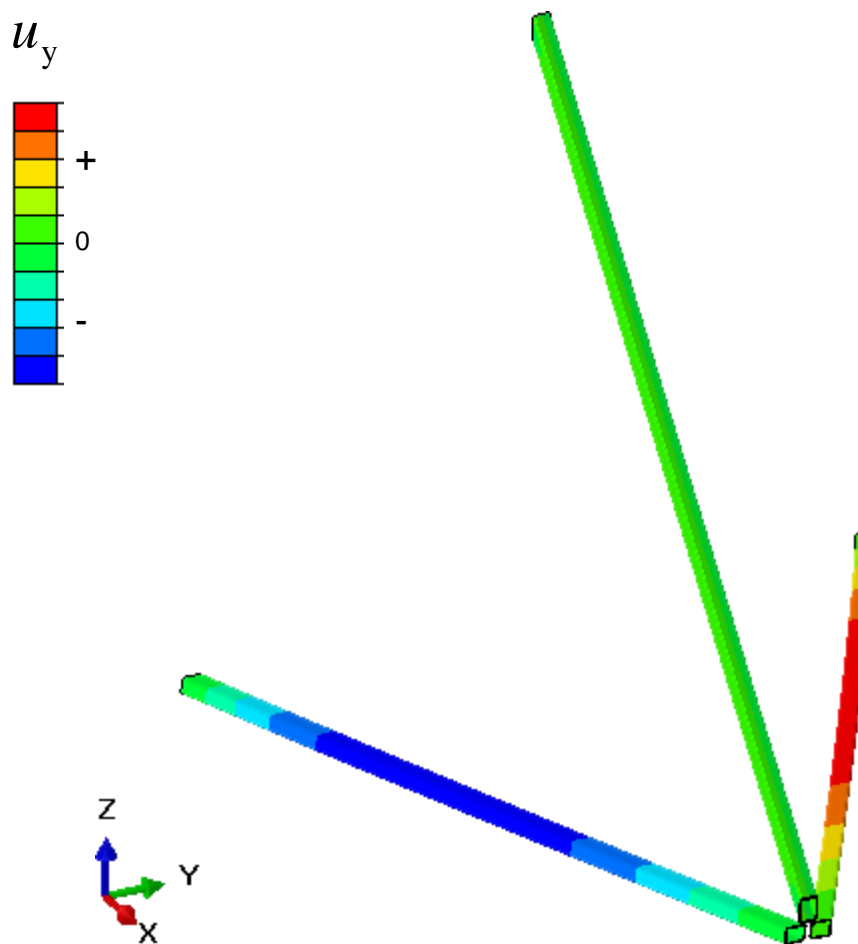
- izvedba pritrditve konstrukcije in poveze med konstrukcijskimi elementi



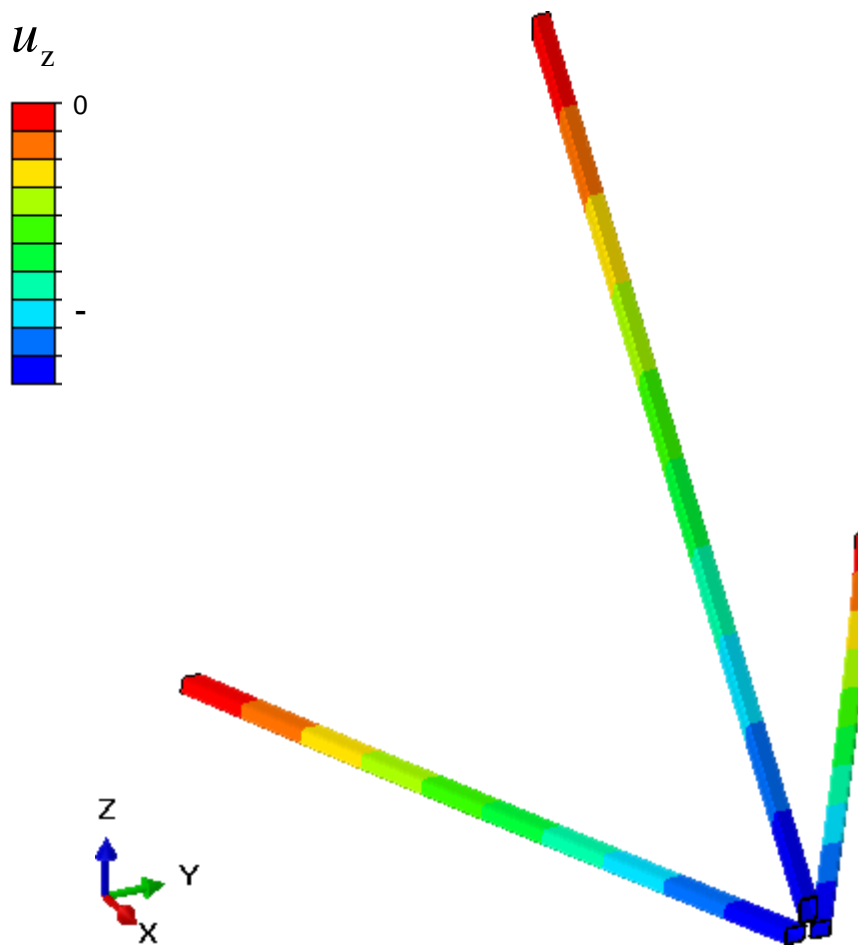
- pomiki v Kartezijevem koordinatnem sistemu



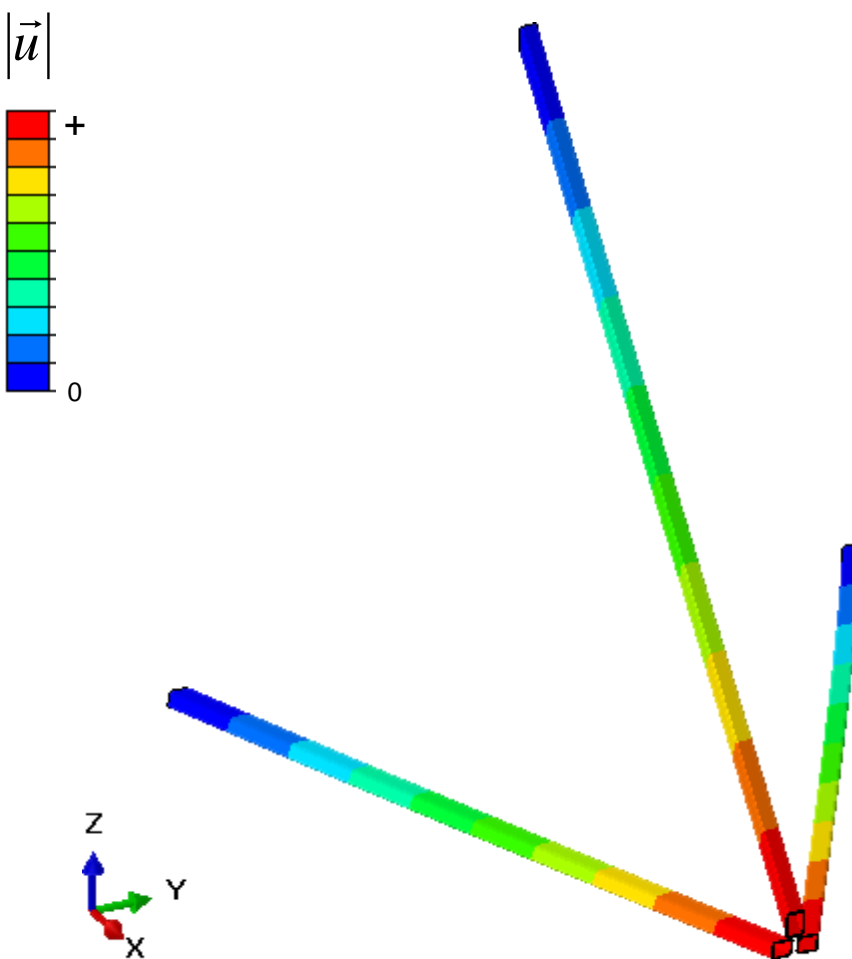
- pomiki v Kartezijevem koordinatnem sistemu



- pomiki v Kartezijevem koordinatnem sistemu



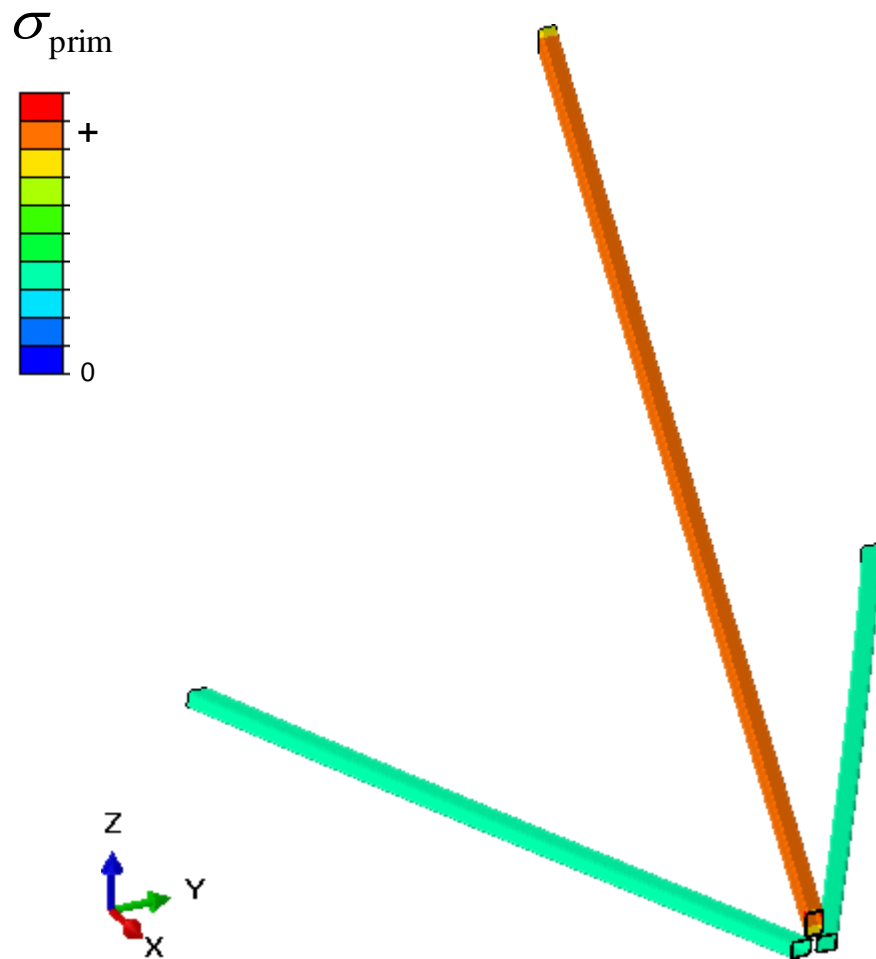
- pomiki v Kartezijevem koordinatnem sistemu



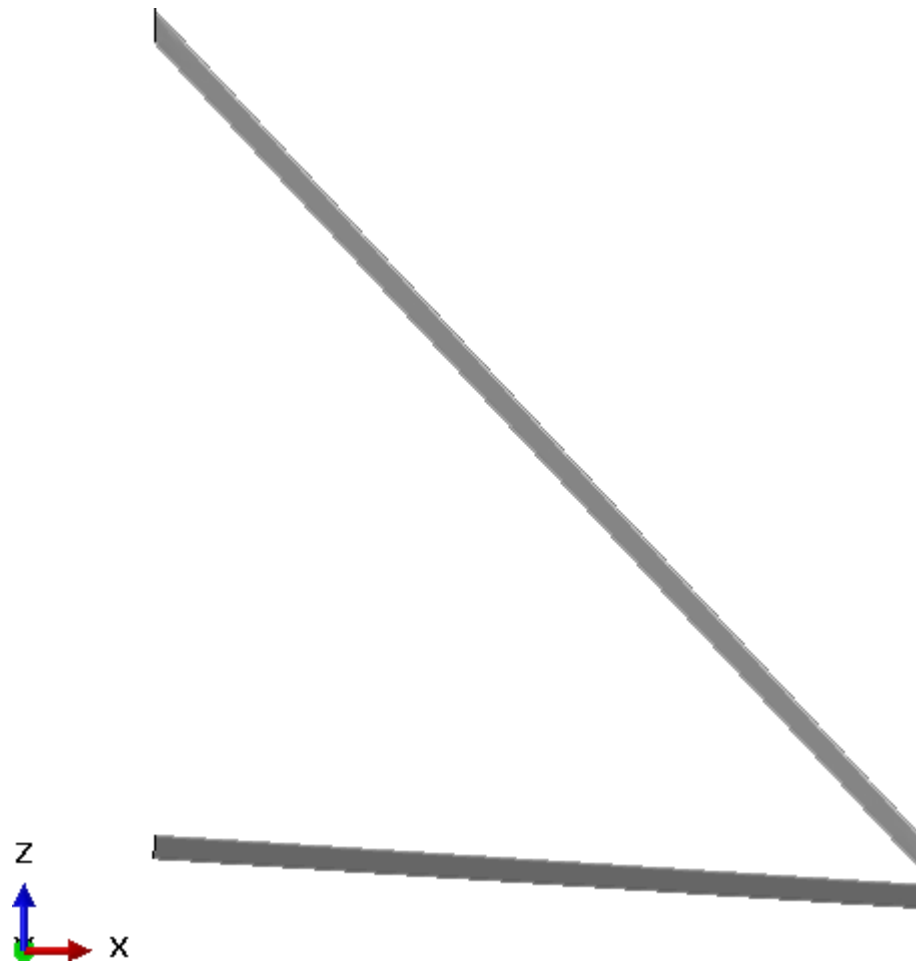
- maksimalne glavne deformacije



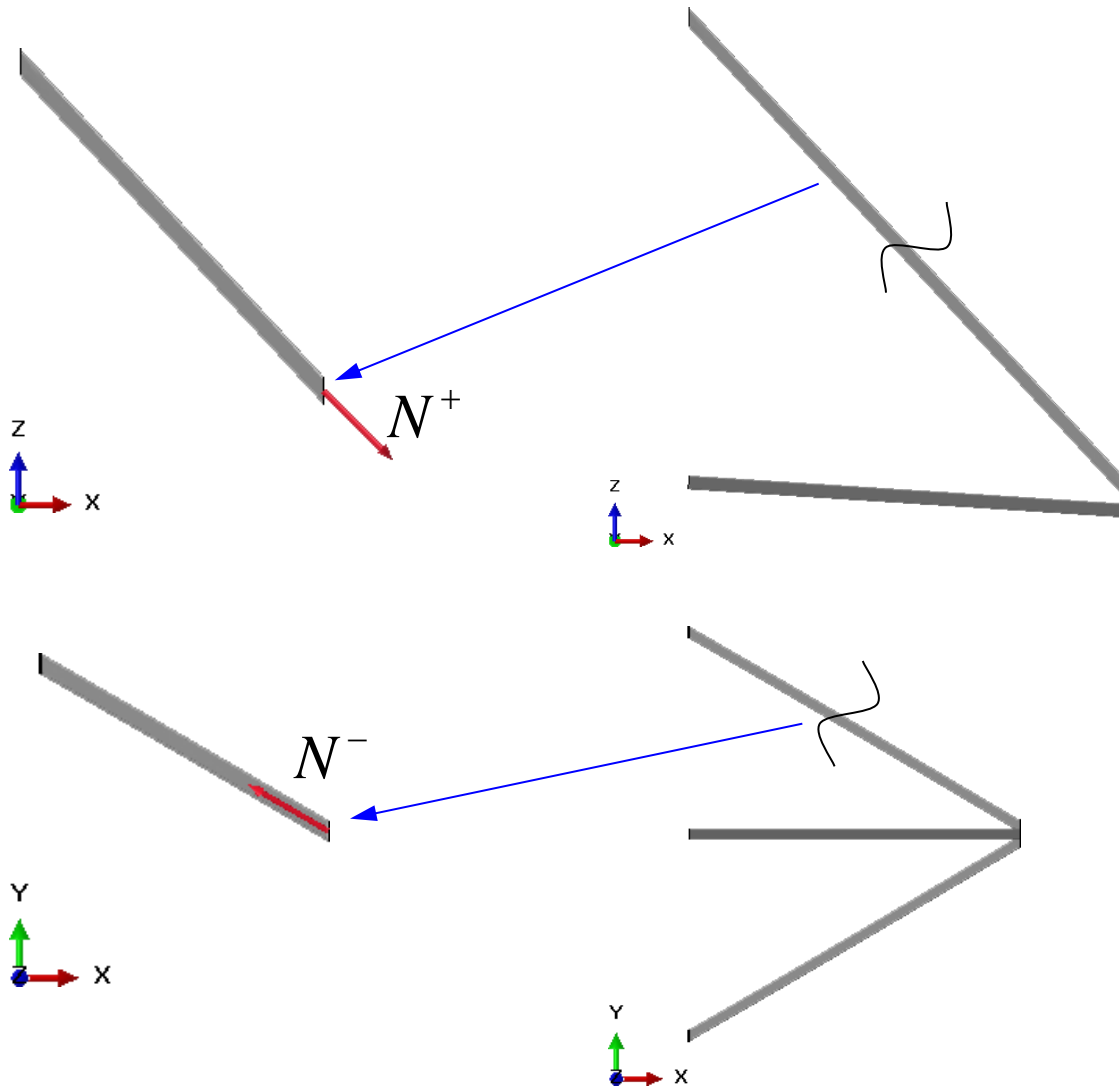
- Mises-ova primerjalna napetost



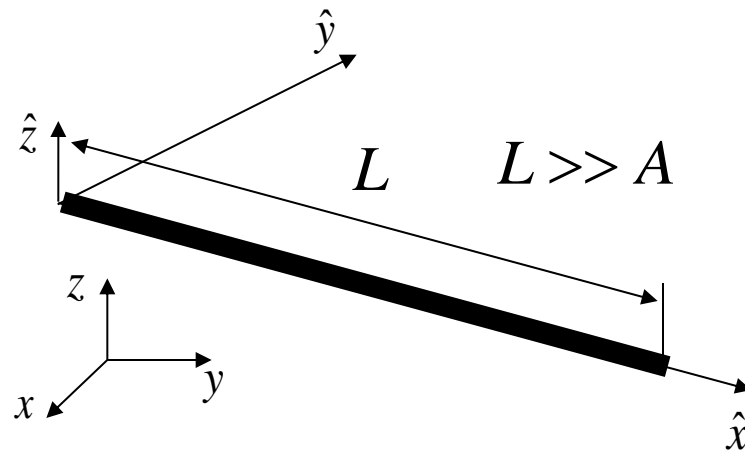
- deformirana konstrukcija (10x povečava)



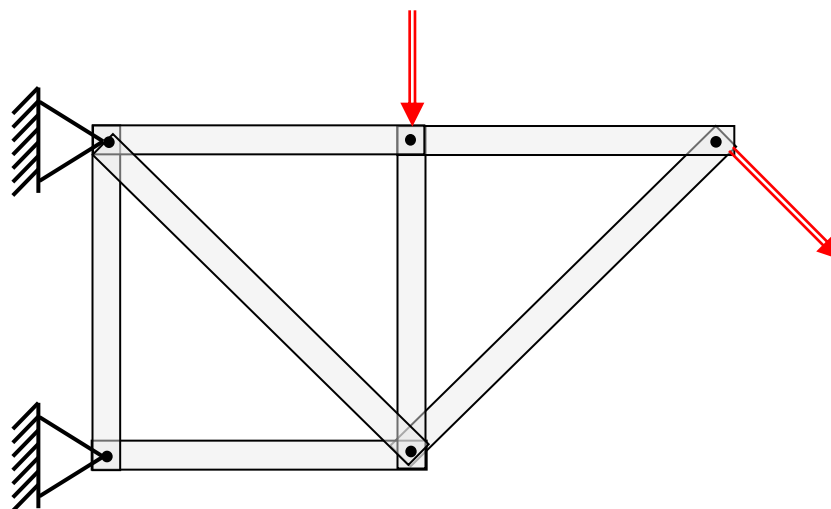
- notranje sile v palicah



- kdaj lahko mehanski problem obravnavamo kot paličje?
 - da lahko problem obravnavamo kot paličje, mora biti izpolnjeno:
 - 1) konstrukcijski element, imenovan palica, prenaša predvsem osno obremenitev
 - 2) homogen, izotropen material
 - 3) prerez palice je majhen glede na njeno dolžino

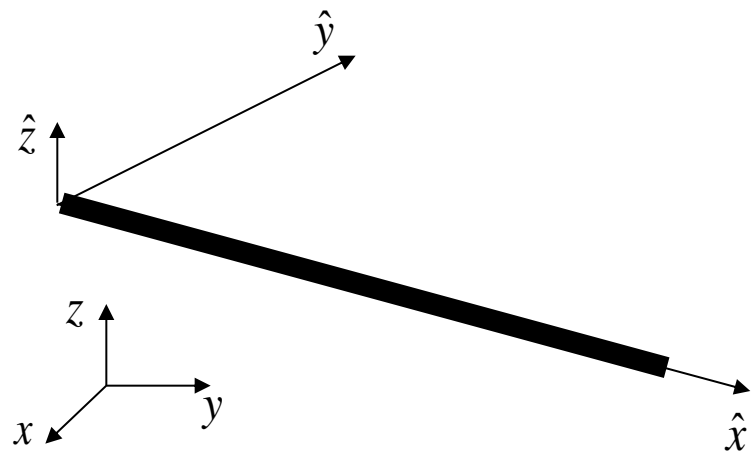


4) obremenjene smejo biti le povezave med palicami,
pri čemer mora biti obremenitev točkovna



- od nič različna komponenta napetostnega tenzorja v lokalnem Kartezijevem koordinatnem sistemu palice je samo σ_{xx}

$$\sigma_{ij} = \begin{cases} \sigma_{\hat{x}\hat{x}} & \sigma_{\hat{x}\hat{y}} = 0 & \sigma_{\hat{x}\hat{z}} = 0 \\ \sigma_{\hat{x}\hat{y}} = 0 & \sigma_{\hat{y}\hat{y}} = 0 & \sigma_{\hat{y}\hat{z}} = 0 \\ \sigma_{\hat{x}\hat{z}} = 0 & \sigma_{\hat{y}\hat{z}} = 0 & \sigma_{\hat{z}\hat{z}} = 0 \end{cases}$$



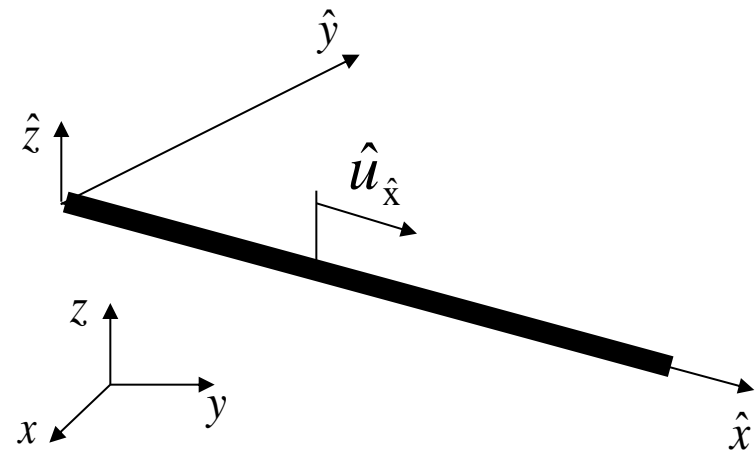
- komponente deformacijskega tenzorja lahko v lokalnem Kartezijevem koordinatnem sistemu palice zapišemo v odvisnosti od pomika v smeri x koordinatne osi

$$\varepsilon_{\hat{x}\hat{x}} = \frac{\partial \hat{u}_{\hat{x}}}{\partial \hat{x}}$$

$$\varepsilon_{\hat{x}\hat{y}} = 0 , \quad \varepsilon_{\hat{x}\hat{z}} = 0 , \quad \varepsilon_{\hat{y}\hat{z}} = 0$$

$$\varepsilon_{\hat{y}\hat{y}} = ?$$

$$\varepsilon_{\hat{z}\hat{z}} = ?$$



- za homogeni, izotropni, linearno elastični material, lahko iz zveze med napetostmi in deformacijami, ki jo definira Hookov zakon, izračunamo komponenti deformacijskega tenzorja ε_{yy} in ε_{zz}

$$\sigma_{\hat{x}\hat{x}} = \frac{E}{(1+\nu)(1-2\nu)} [(1-\nu) \varepsilon_{\hat{x}\hat{x}} + \nu \varepsilon_{\hat{y}\hat{y}} + \nu \varepsilon_{\hat{z}\hat{z}}]$$

$$\sigma_{\hat{y}\hat{y}} = 0 = \frac{E}{(1+\nu)(1-2\nu)} [\nu \varepsilon_{\hat{x}\hat{x}} + (1-\nu) \varepsilon_{\hat{y}\hat{y}} + \nu \varepsilon_{\hat{z}\hat{z}}]$$

$$\sigma_{\hat{z}\hat{z}} = 0 = \frac{E}{(1+\nu)(1-2\nu)} [\nu \varepsilon_{\hat{x}\hat{x}} + \nu \varepsilon_{\hat{y}\hat{y}} + (1-\nu) \varepsilon_{\hat{z}\hat{z}}]$$

$$\varepsilon_{\hat{y}\hat{y}} = \varepsilon_{\hat{z}\hat{z}}$$

$$\sigma_{\hat{y}\hat{y}} = 0 = \frac{E}{(1+\nu)(1-2\nu)} [\nu \varepsilon_{\hat{x}\hat{x}} + (1-\nu) \varepsilon_{\hat{y}\hat{y}} + \nu \varepsilon_{\hat{z}\hat{z}}] \Rightarrow \varepsilon_{\hat{y}\hat{y}} = \varepsilon_{\hat{z}\hat{z}} = -\nu \varepsilon_{\hat{x}\hat{x}}$$

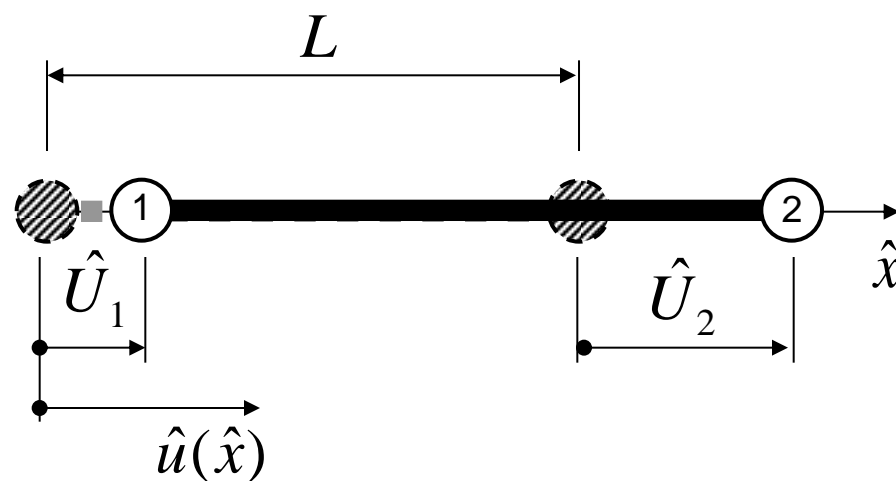
$$\sigma_{\hat{x}\hat{x}} = E \varepsilon_{\hat{x}\hat{x}}$$

- matrični zapis enačbe KE za linearno elastično statično obremenjeno palico
- funkcijski zapis pomika v lokalnem
Kartezijevem koordinatnem sistemu palice

$$\hat{U}_1 = u_{\hat{x}}(\hat{x} = 0)$$

$$\hat{U}_2 = u_{\hat{x}}(\hat{x} = L)$$

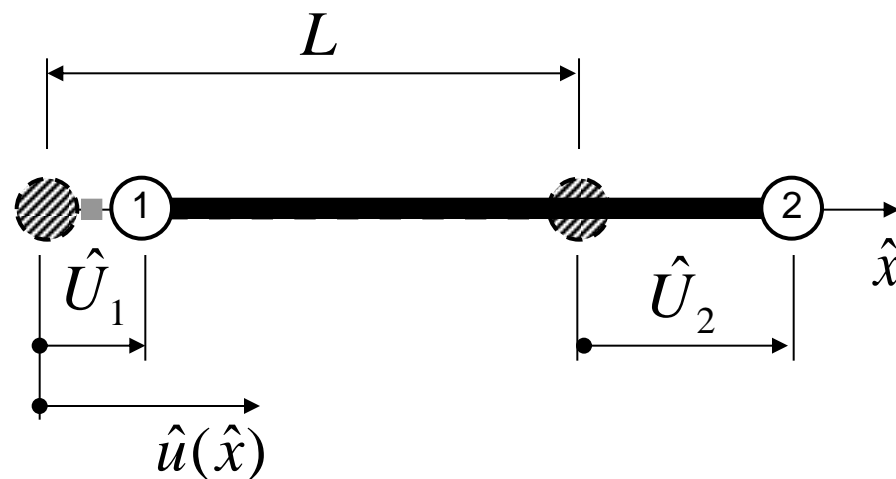
$$u_{\hat{x}}(\hat{x}) = \hat{U}_1 \left(1 - \frac{\hat{x}}{L}\right) + \hat{U}_2 \left(\frac{\hat{x}}{L}\right)$$



- izračun osne deformacije

$$\hat{u}_{\hat{x}}(\hat{x}) = \hat{U}_1 \left(1 - \frac{\hat{x}}{L} \right) + \hat{U}_2 \left(\frac{\hat{x}}{L} \right)$$

$$\varepsilon_{\hat{x}\hat{x}} = \frac{\partial \hat{u}_{\hat{x}}}{\partial \hat{x}} = \frac{\hat{U}_2 - \hat{U}_1}{L}$$

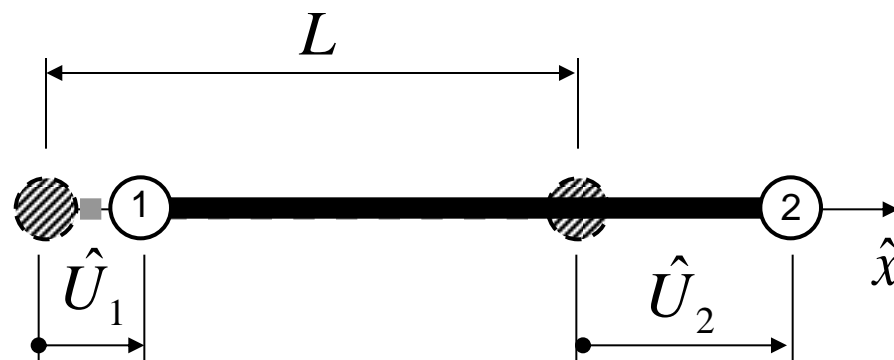


- izračun notranje osne sile

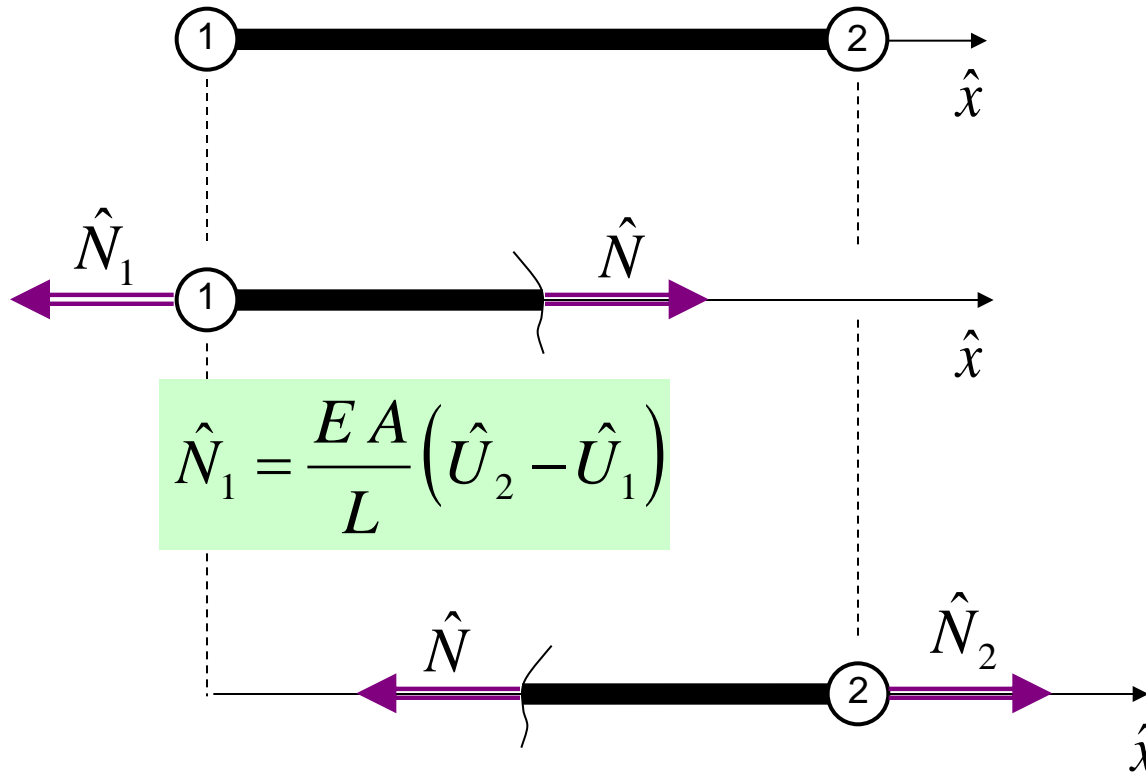
$$\varepsilon_{\hat{x}\hat{x}} = \frac{\partial u_{\hat{x}}}{\partial \hat{x}} = \frac{(\hat{U}_2 - \hat{U}_1)}{L}$$

$$\sigma_{\hat{x}\hat{x}} = E \varepsilon_{\hat{x}\hat{x}} = E \frac{(\hat{U}_2 - \hat{U}_1)}{L}$$

$$\sigma_{\hat{x}\hat{x}} = \frac{\hat{N}}{A} = E \frac{(\hat{U}_2 - \hat{U}_1)}{L} \Rightarrow \hat{N} = \frac{E A}{L} (\hat{U}_2 - \hat{U}_1)$$



- izračun notranje osne sile v vozlišču KE



$$\hat{N}_1 = \frac{EA}{L} (\hat{U}_2 - \hat{U}_1)$$

$$\hat{N}_2 = \frac{EA}{L} (\hat{U}_2 - \hat{U}_1)$$

- izračun sile, ki deluje v vozlišču KE

$$\hat{F}_1 = -\hat{N}_1 = -\frac{EA}{L}(\hat{U}_2 - \hat{U}_1) = +\frac{EA}{L}(\hat{U}_1 - \hat{U}_2)$$

$$\hat{F}_2 = +\hat{N}_2 = +\frac{EA}{L}(\hat{U}_2 - \hat{U}_1) = -\frac{EA}{L}(\hat{U}_1 - \hat{U}_2)$$



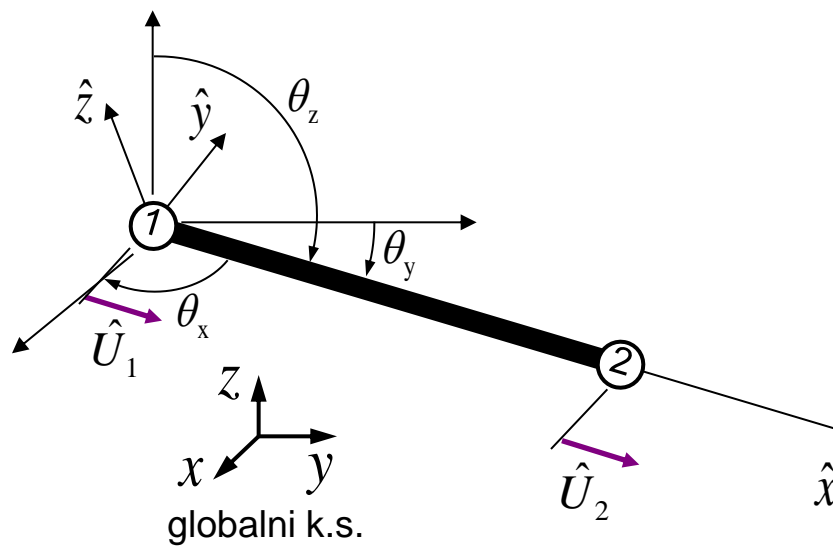
- zapis enačb KE v matrični obliki v lokalnem koordinatnem sistemu palice

$$\frac{EA}{L} \begin{bmatrix} +1 & -1 \\ -1 & +1 \end{bmatrix} \begin{Bmatrix} \hat{U}_1 \\ \hat{U}_2 \end{Bmatrix} = \begin{Bmatrix} \hat{F}_1 \\ \hat{F}_2 \end{Bmatrix}$$



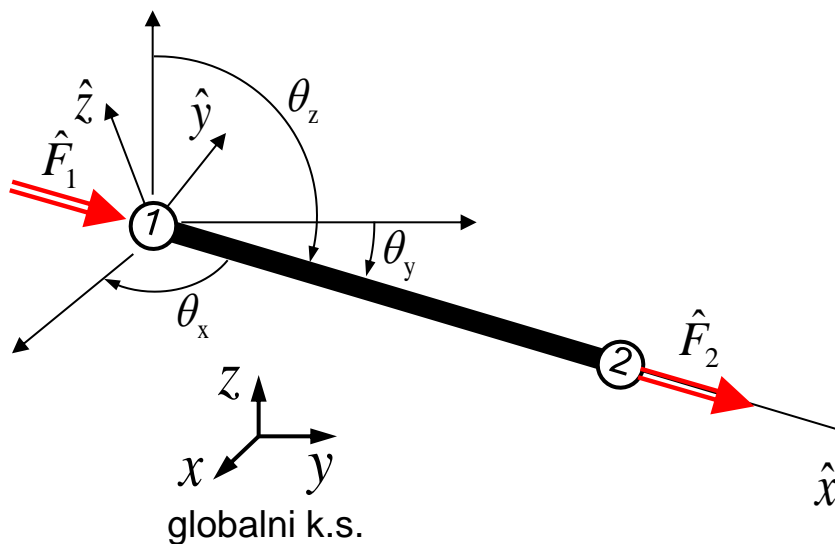
- transformacija pomikov iz lokalnega v globalni koordinatni sistem obravnavanega problema

$$\begin{Bmatrix} \hat{U}_1 \\ \hat{U}_2 \end{Bmatrix} = \begin{bmatrix} \cos \theta_x & \cos \theta_y & \cos \theta_z & 0 & 0 & 0 \\ 0 & 0 & 0 & \cos \theta_x & \cos \theta_y & \cos \theta_z \end{bmatrix} \begin{Bmatrix} U_{1x} \\ U_{1y} \\ U_{1z} \\ U_{2x} \\ U_{2y} \\ U_{2z} \end{Bmatrix}$$



- transformacija sil iz lokalnega v globalni koordinatni sistem obravnavanega problema

$$\begin{Bmatrix} \hat{F}_1 \\ \hat{F}_2 \end{Bmatrix} = \begin{bmatrix} \cos \theta_x & \cos \theta_y & \cos \theta_z & 0 & 0 & 0 \\ 0 & 0 & 0 & \cos \theta_x & \cos \theta_y & \cos \theta_z \end{bmatrix} \begin{Bmatrix} F_{1x} \\ F_{1y} \\ F_{1z} \\ F_{2x} \\ F_{2y} \\ F_{2z} \end{Bmatrix}$$



- matrični zapis enačbe KE za linearno elastični statično obremenjeni problem v globalnem koordinatnem sistemu

- za posamezni KE dobimo toliko enačb, kolikor ima KE prostostnih stopenj
- v vozlišču KE so neznane tri primarne veličine – pomiki, tako da ima posamezni KE $(3 \cdot N_v)$ prostostnih stopenj

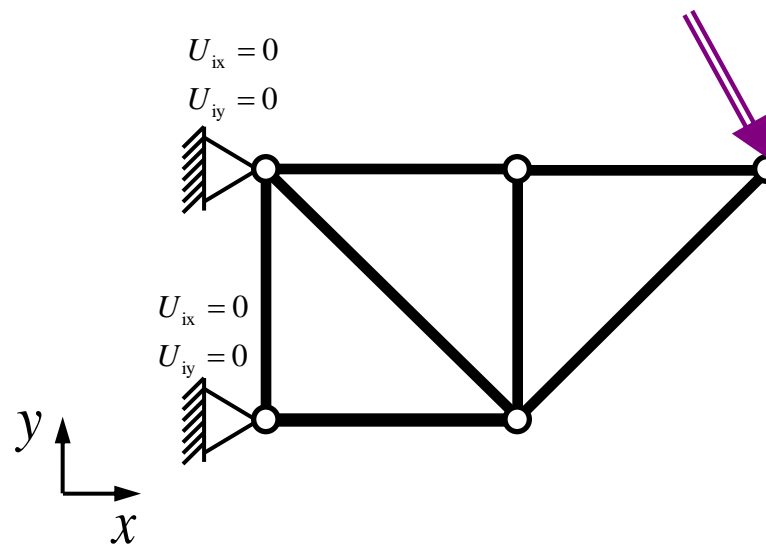
$$[K]_e \{U\}_e = \{F\}_e$$

$$\begin{bmatrix} K_{11} & K_{12} & K_{13} & K_{14} & \cdots & K_{1(3N_v)} \\ K_{21} & K_{22} & K_{23} & K_{24} & \cdots & K_{2(3N_v)} \\ K_{31} & K_{32} & K_{33} & K_{34} & \cdots & K_{3(3N_v)} \\ K_{41} & K_{42} & K_{43} & K_{44} & \cdots & K_{4(3N_v)} \\ \vdots & \vdots & \vdots & \vdots & \ddots & \vdots \\ K_{(3N_v)1} & K_{(3N_v)2} & K_{(3N_v)3} & K_{(3N_v)4} & \cdots & K_{(3N_v)(3N_v)} \end{bmatrix}_e \begin{Bmatrix} U_{1x} \\ U_{1y} \\ U_{1z} \\ U_{2x} \\ \vdots \\ U_{(3N_v)z} \end{Bmatrix}_e = \begin{Bmatrix} F_{1z} \\ F_{1y} \\ F_{1z} \\ F_{2x} \\ \vdots \\ F_{(3N_v)z} \end{Bmatrix}_e$$

- posamezni element vektorja $\{F\}_e$ predstavlja v vozlišču KE delujočo vektorsko komponento sile v smeri določene koordinatne osi

- v primeru, da je velikost vektorske komponente pomika v smeri določene koordinatne osi v vozlišču KE poznana, velikost točkovne mehanske obremenitve v tej smeri ni poznana

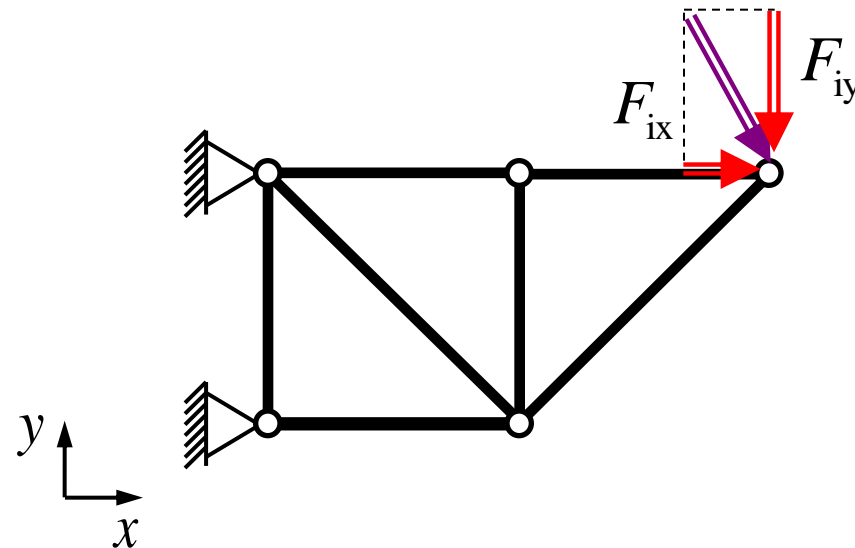
$$U_{ik} = \checkmark \Rightarrow F_{ik} = ? , \quad i = 1, \dots, N_v , \quad k = x, y, z$$



- v primeru, da velikost komponente pomika v smeri določene koordinatne osi v vozlišču KE ni poznana, je velikost točkovne mehanske obremenitve v tej smeri možno izračunati

$$U_{ik} = ? \quad \Rightarrow \quad F_{ik} = \checkmark, \quad i=1,..,N_v, \quad k=x, y, z$$

- točkovna obremenitev je vezana na vozlišče paličnega KE, ki leži na ograji obravnavnega območja KE



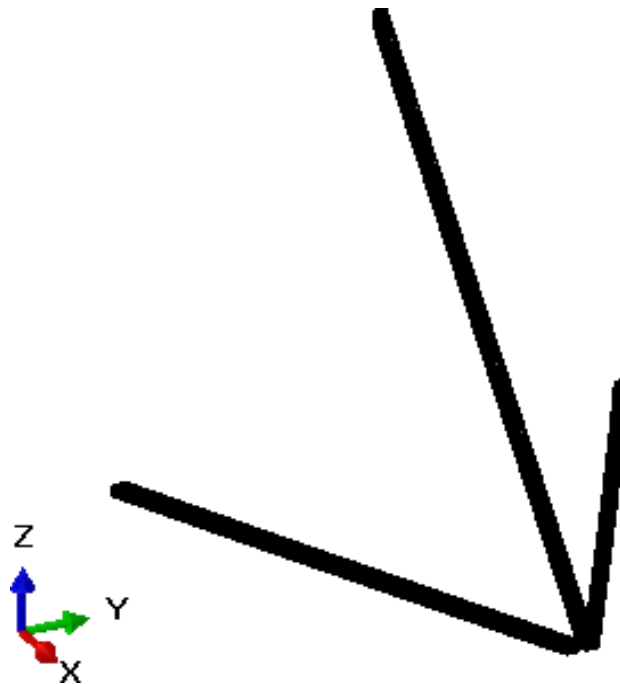
- primer reševanja palične konstrukcije z MKE

3D KE:

22000 KE (6 pl., 8 vozl.)

42000 vozlišč

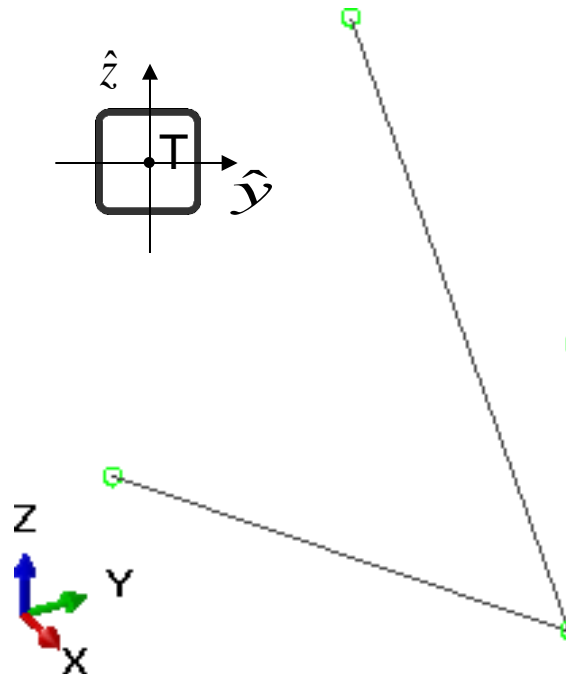
126000 enačb

**1D palični KE:**

3 KE (2 vozliščni)

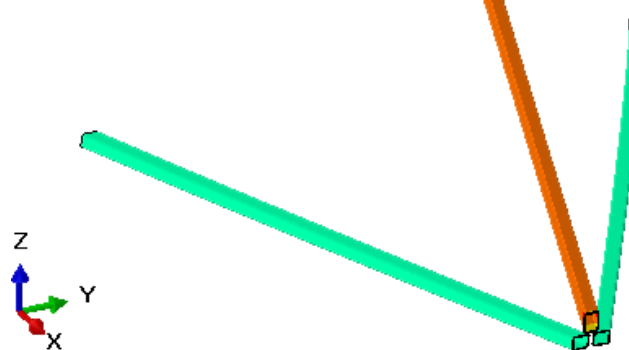
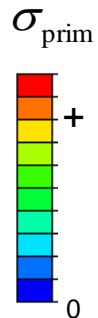
4 vozlišč

12 enačb

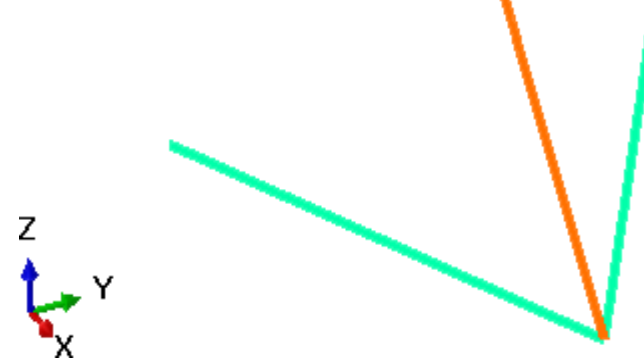
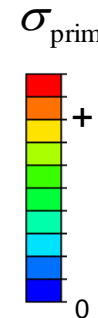


- primerjava Mises-ove primerjalne napetosti: 3D KE \longleftrightarrow 1D palični KE

3D KE

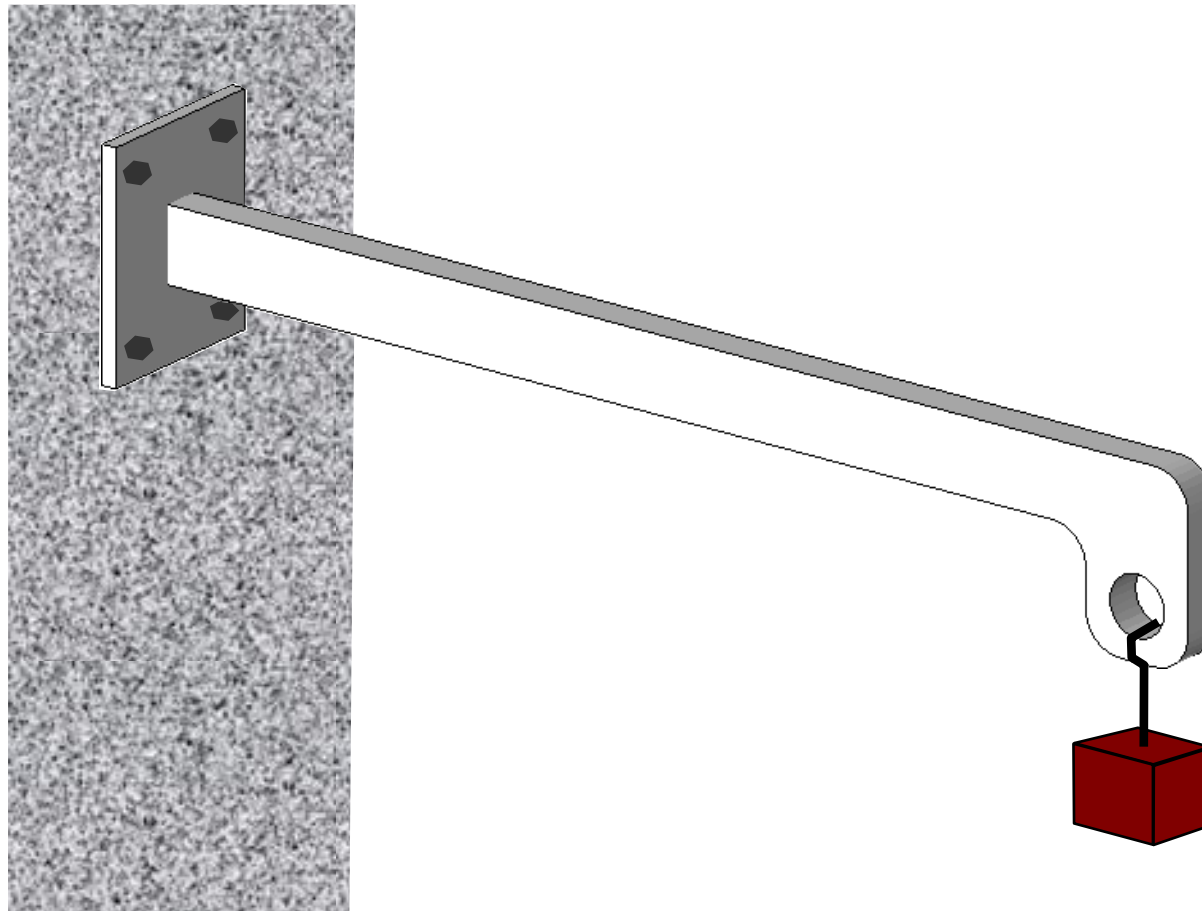


1D KE



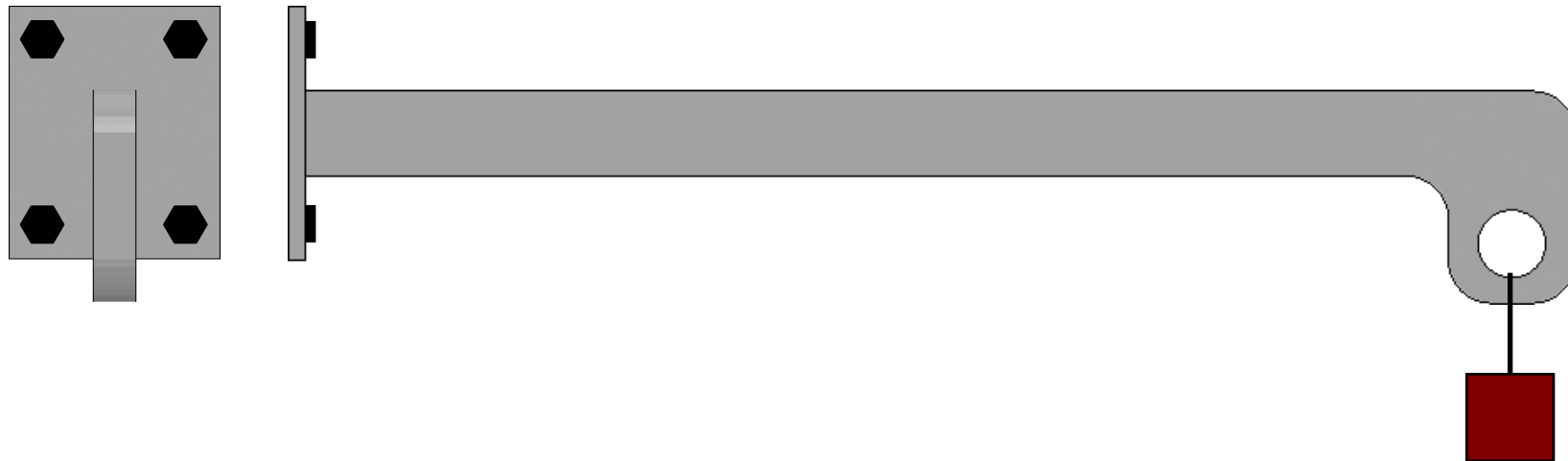


- primer reševanja volumskega mehanskega problema z MKE

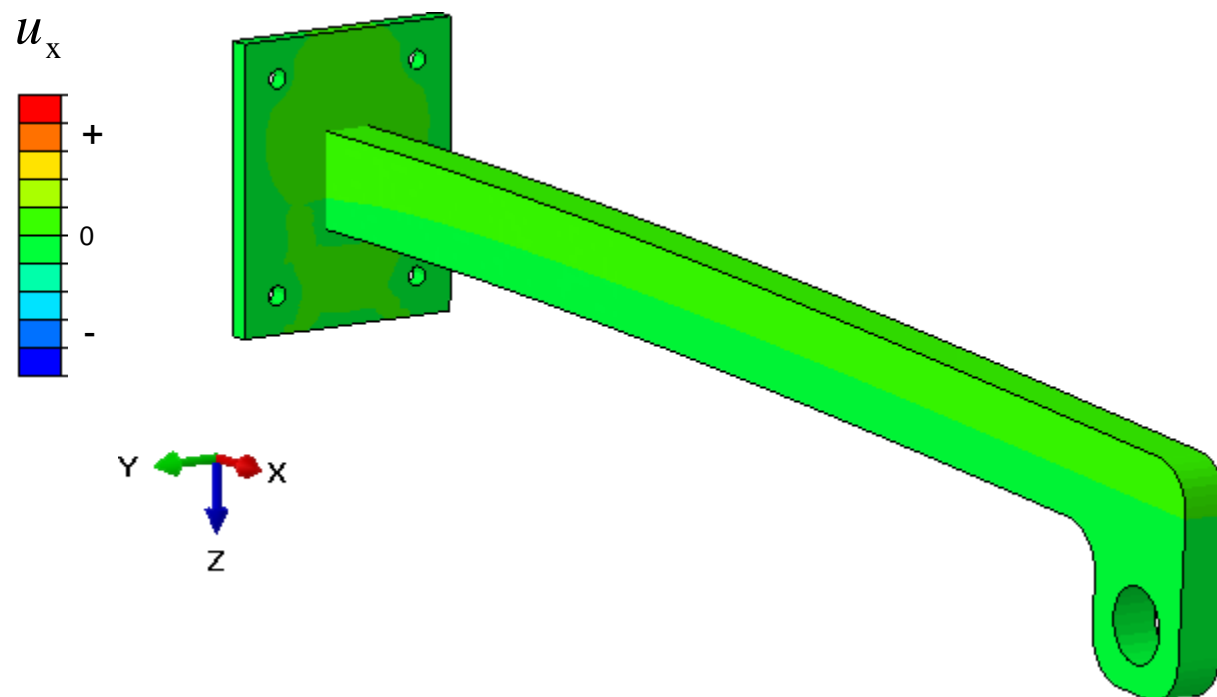




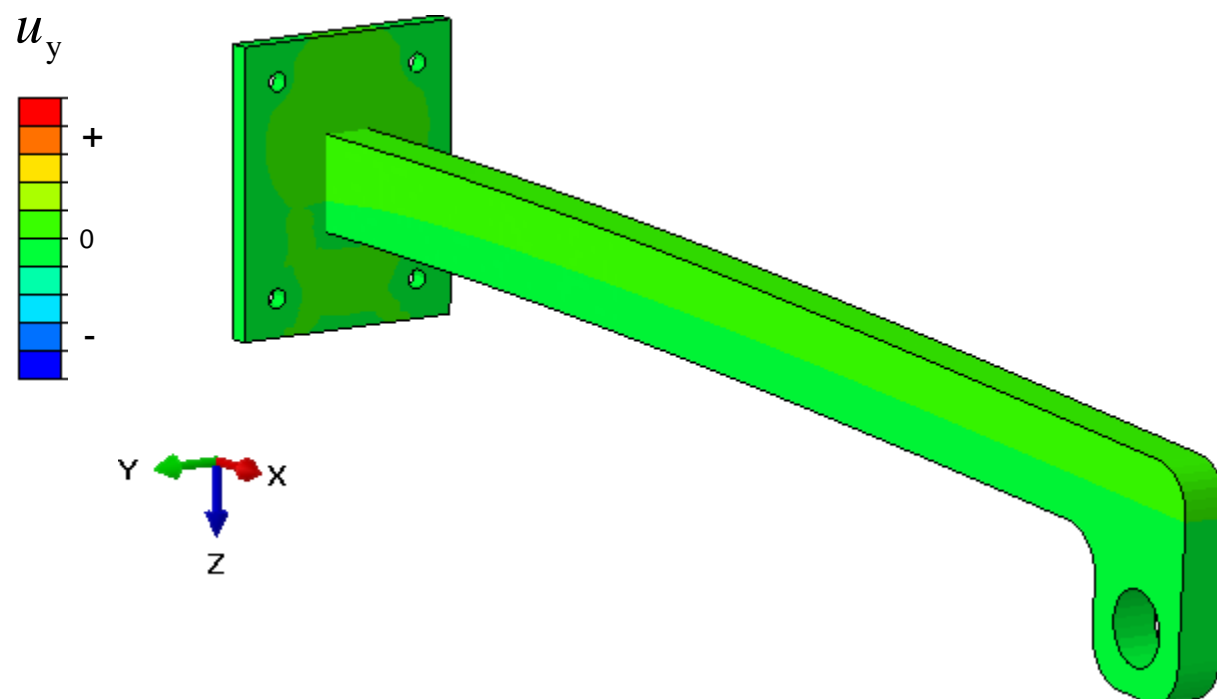
- primer reševanja volumskega mehanskega problema z MKE



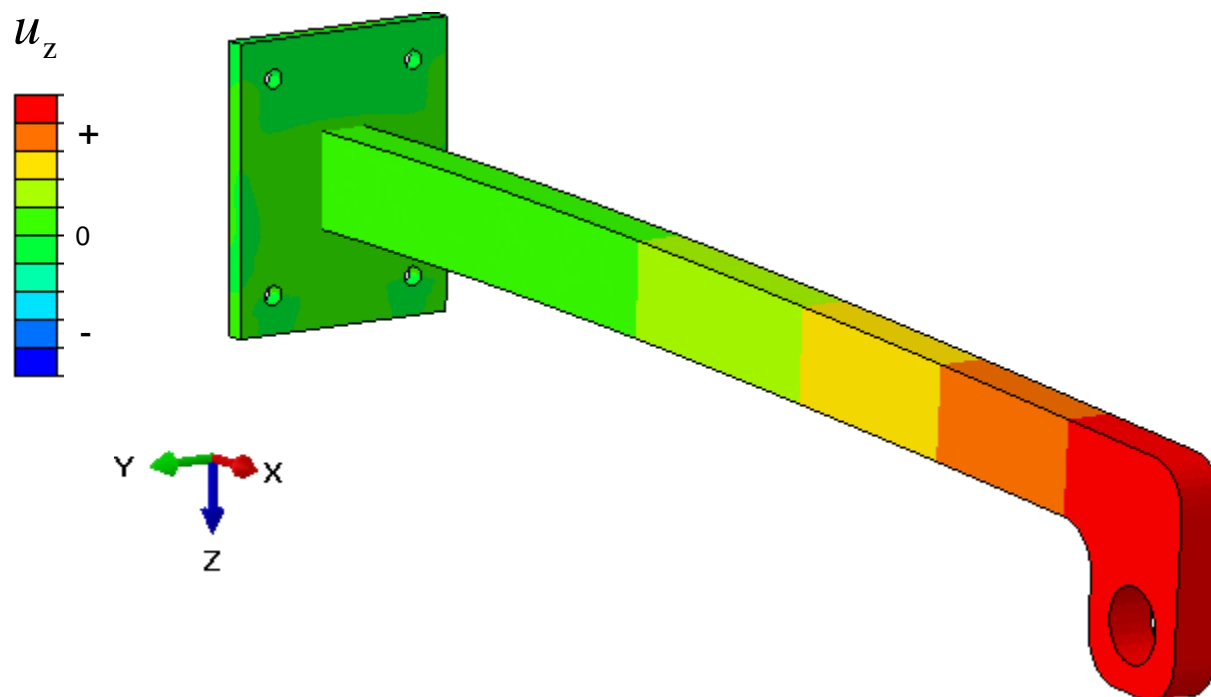
- pomiki v Kartezijevem koordinatnem sistemu



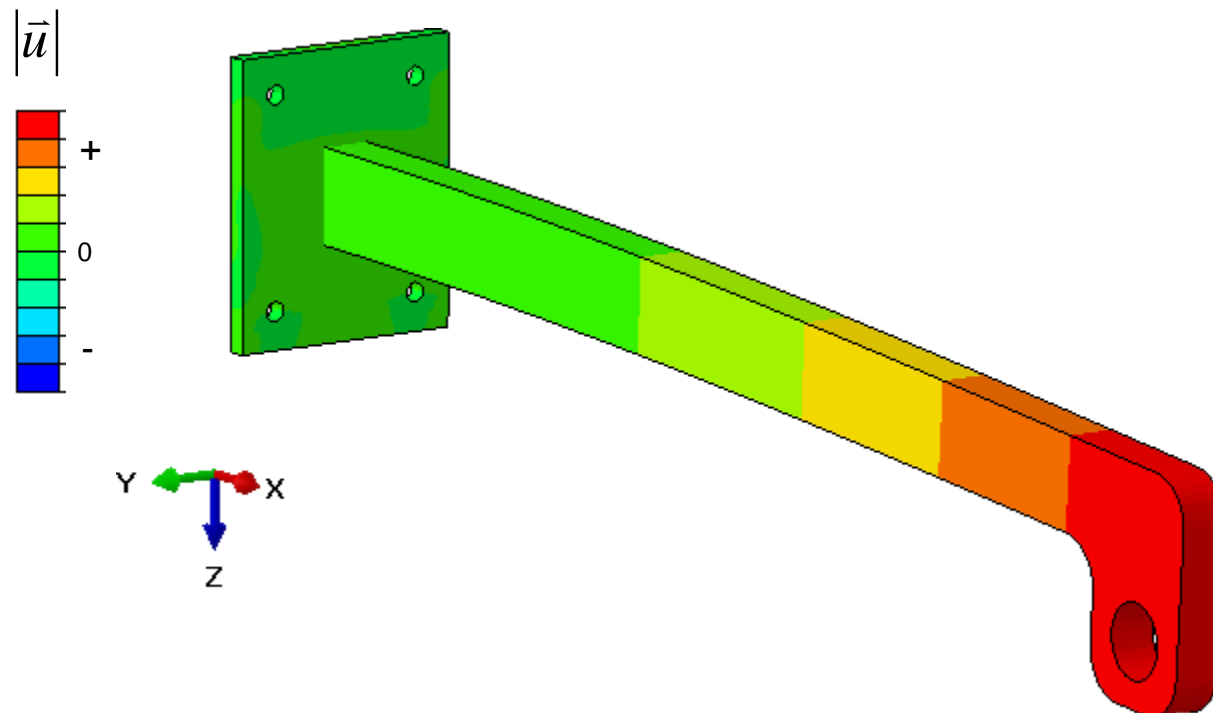
- pomiki v Kartezijevem koordinatnem sistemu



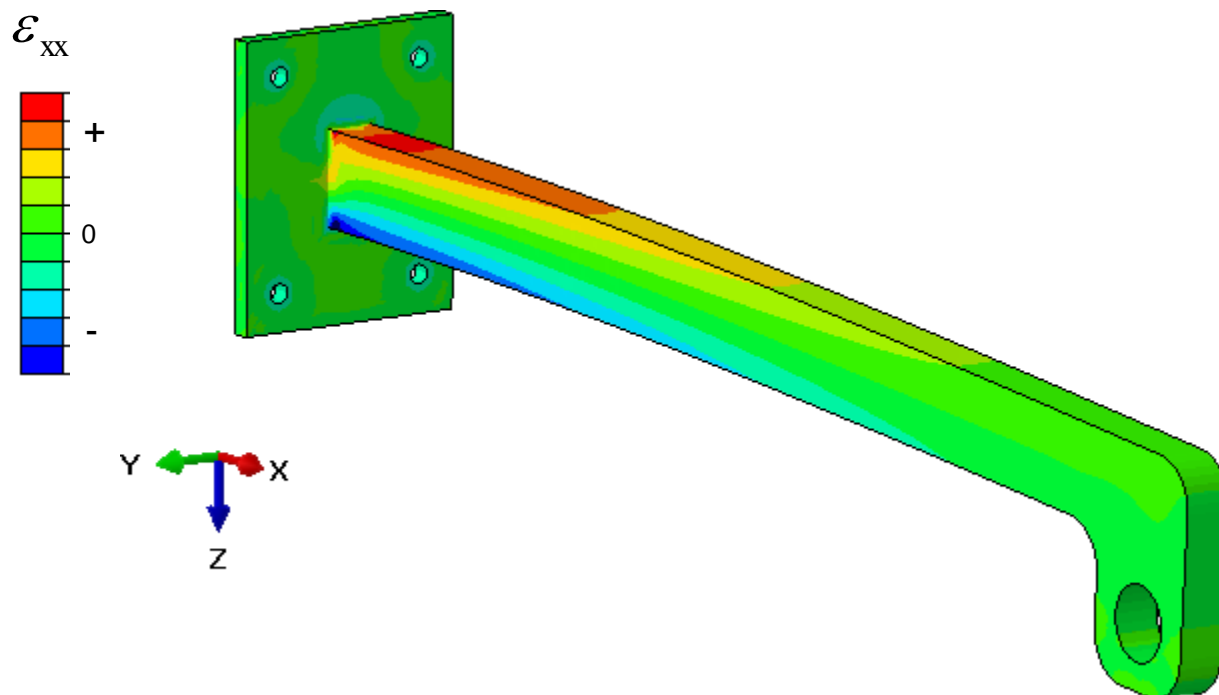
- pomiki v Kartezijevem koordinatnem sistemu



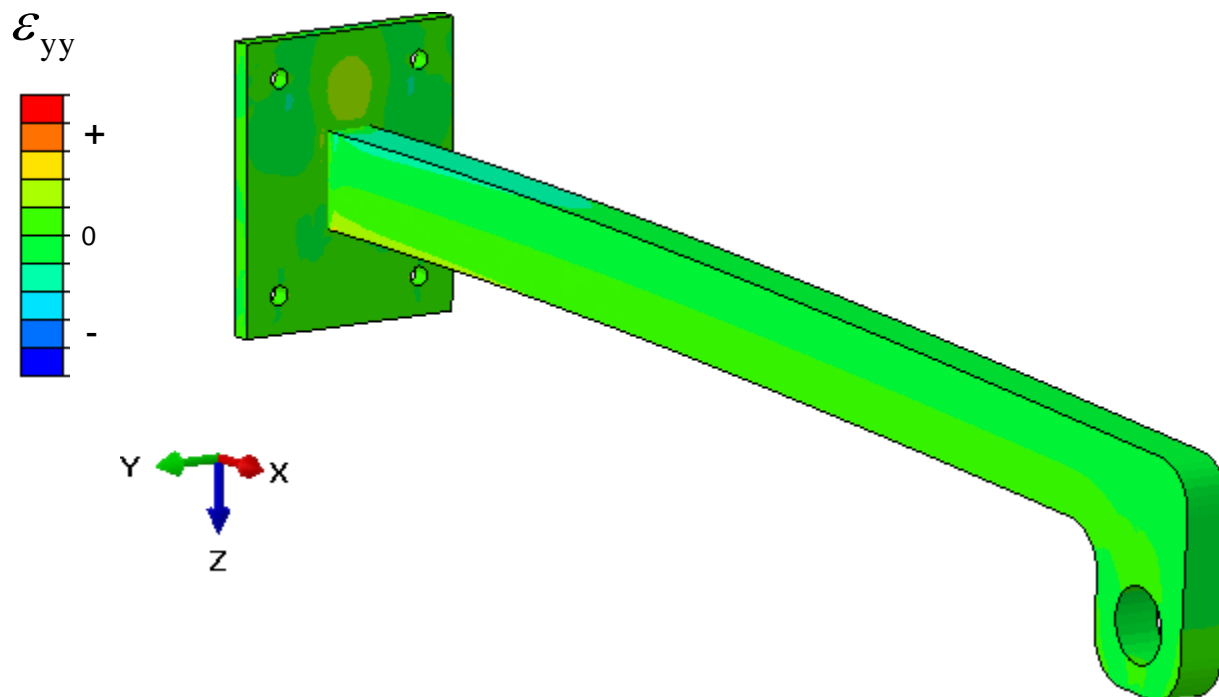
- pomiki v Kartezijevem koordinatnem sistemu



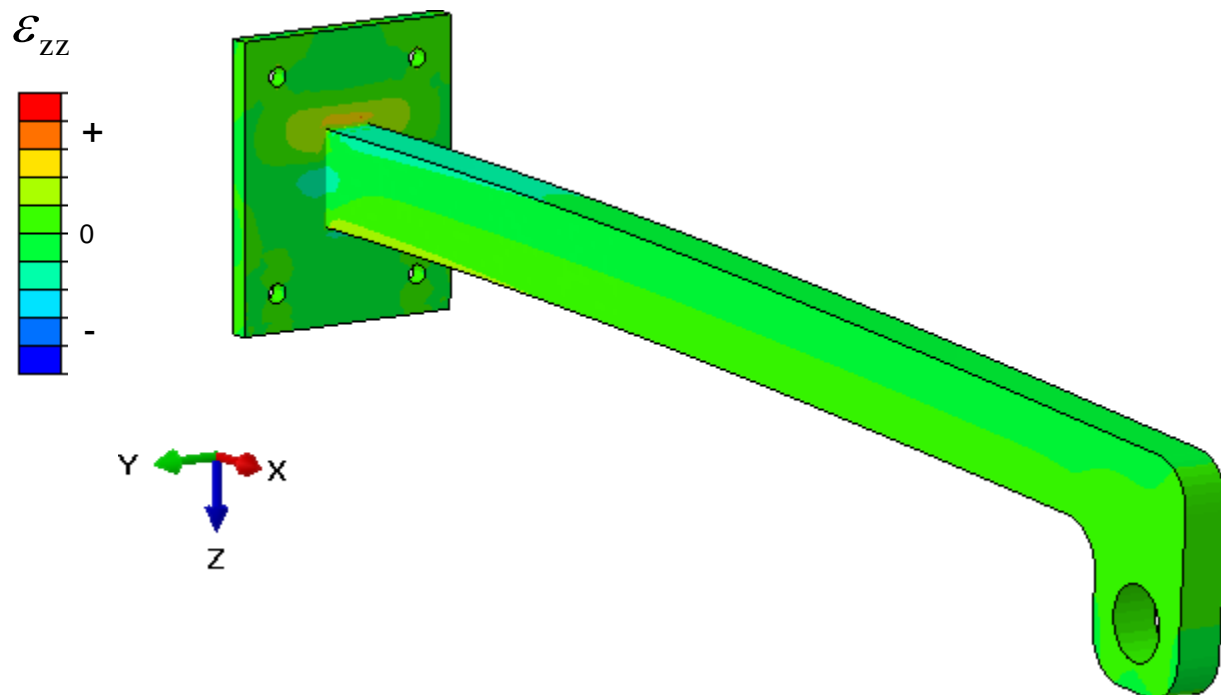
- deformacije v Kartezijevem koordinatnem sistemu



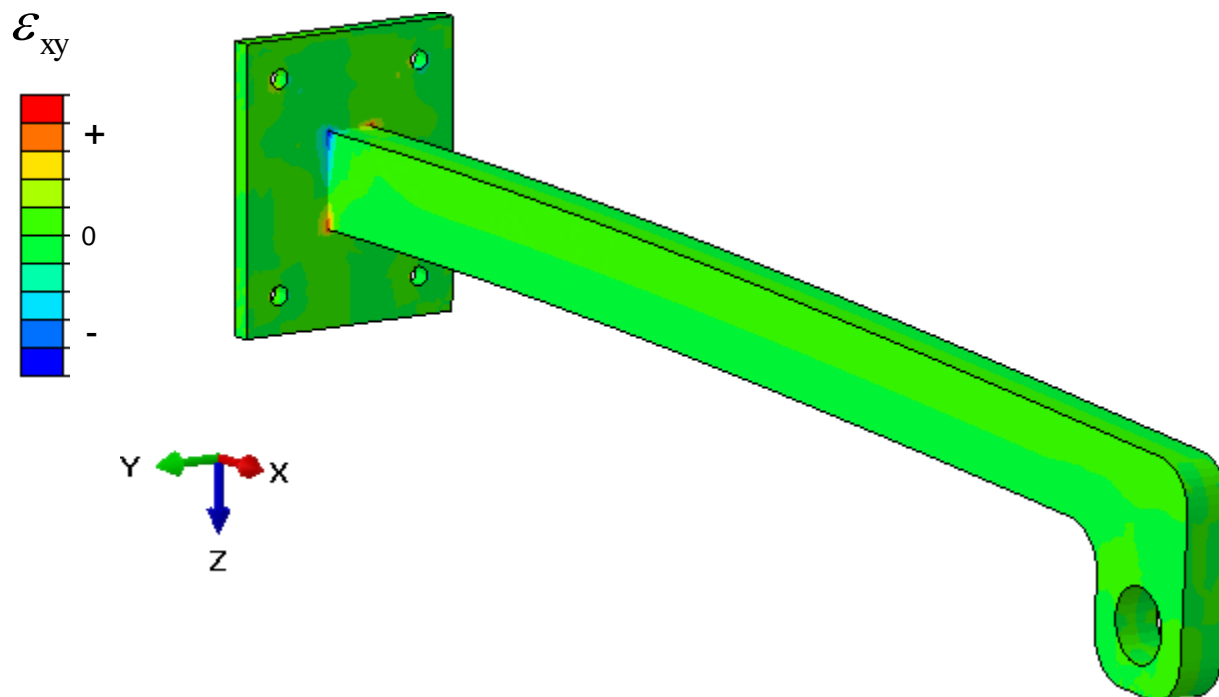
- deformacije v Kartezijevem koordinatnem sistemu



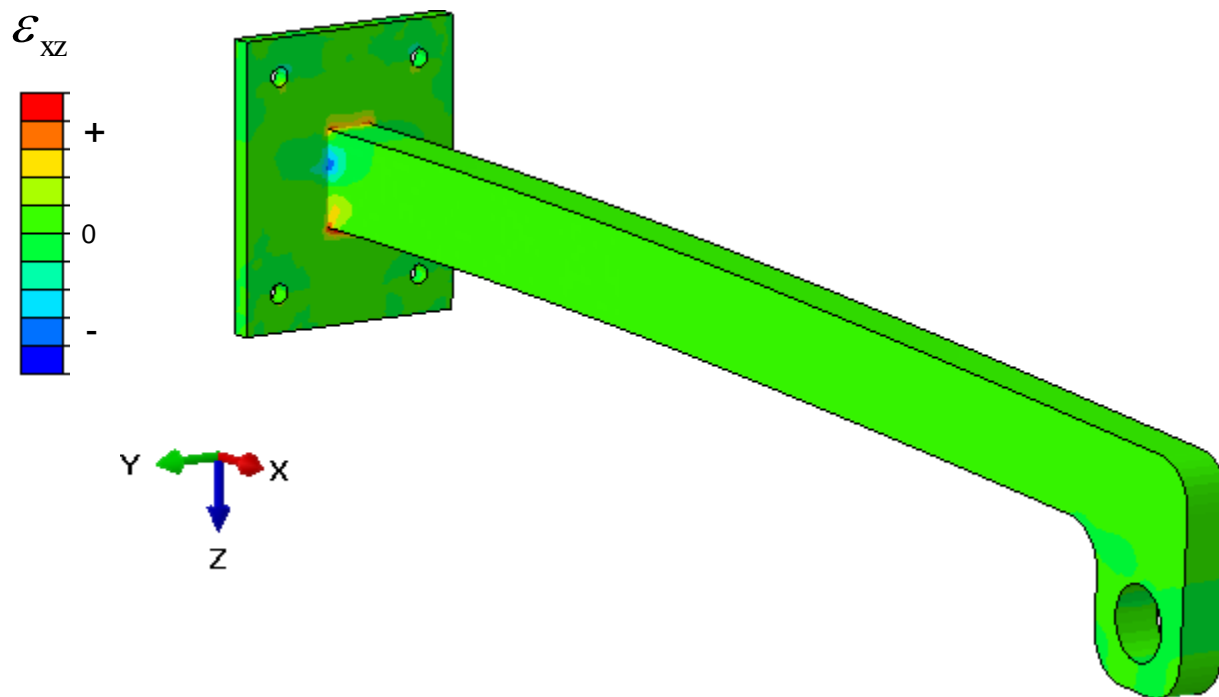
- deformacije v Kartezijevem koordinatnem sistemu



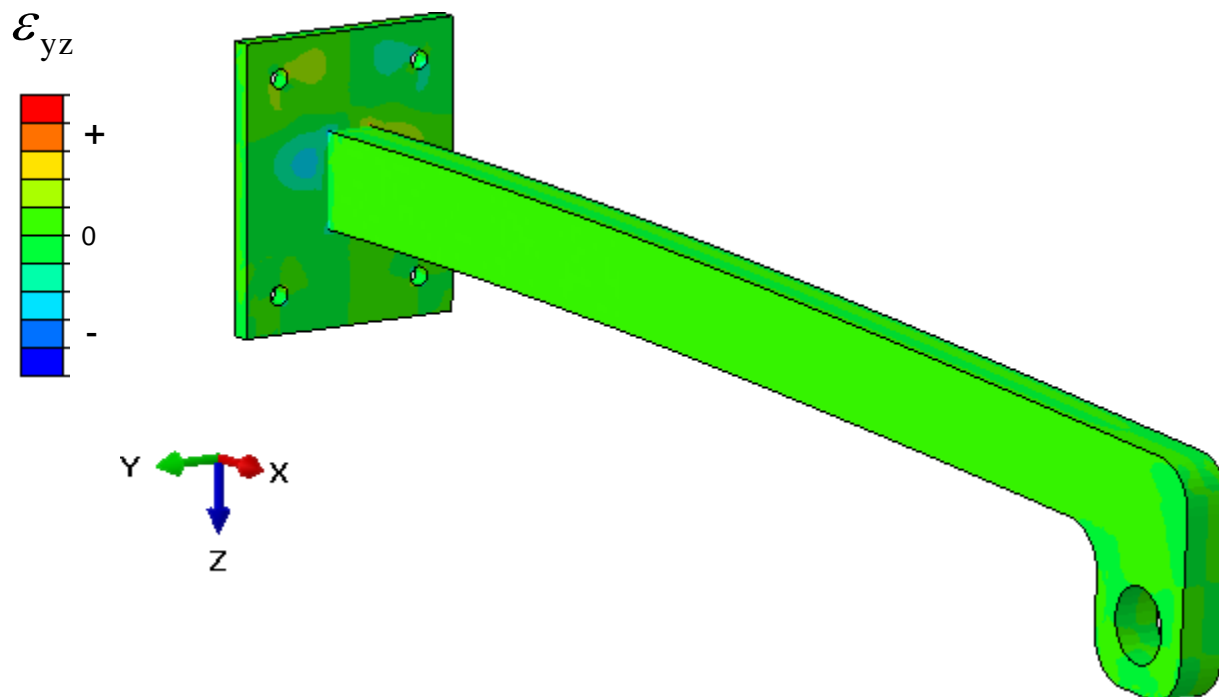
- deformacije v Kartezijevem koordinatnem sistemu



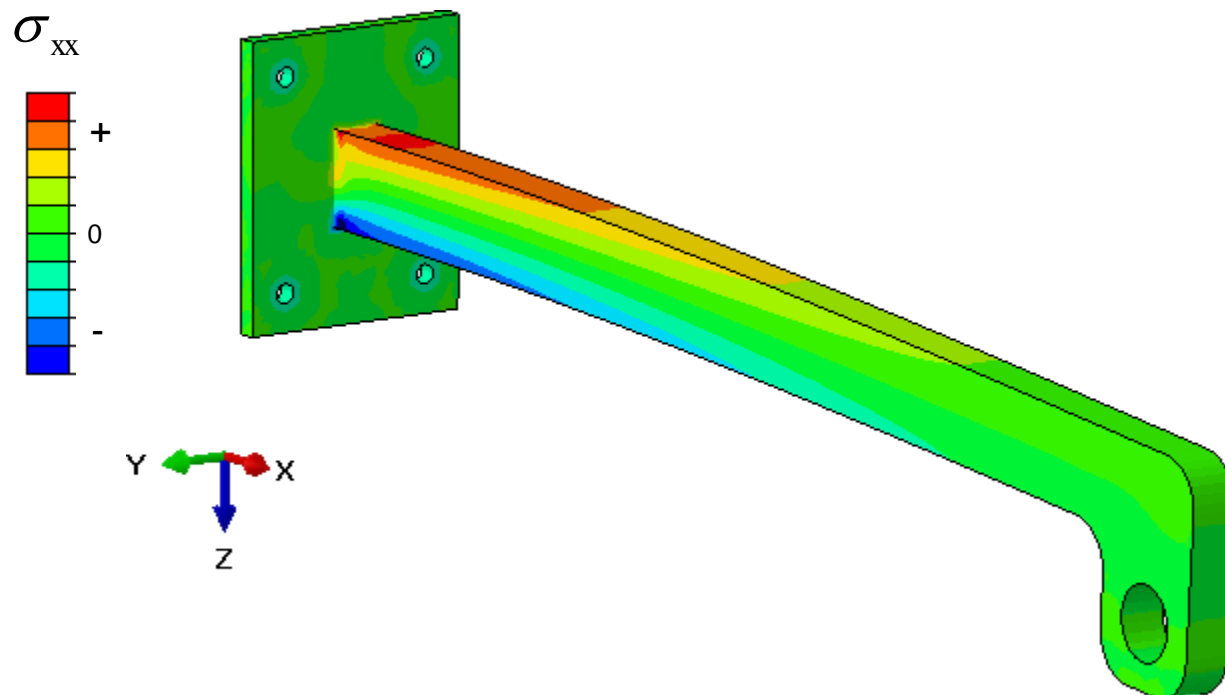
- deformacije v Kartezijevem koordinatnem sistemu



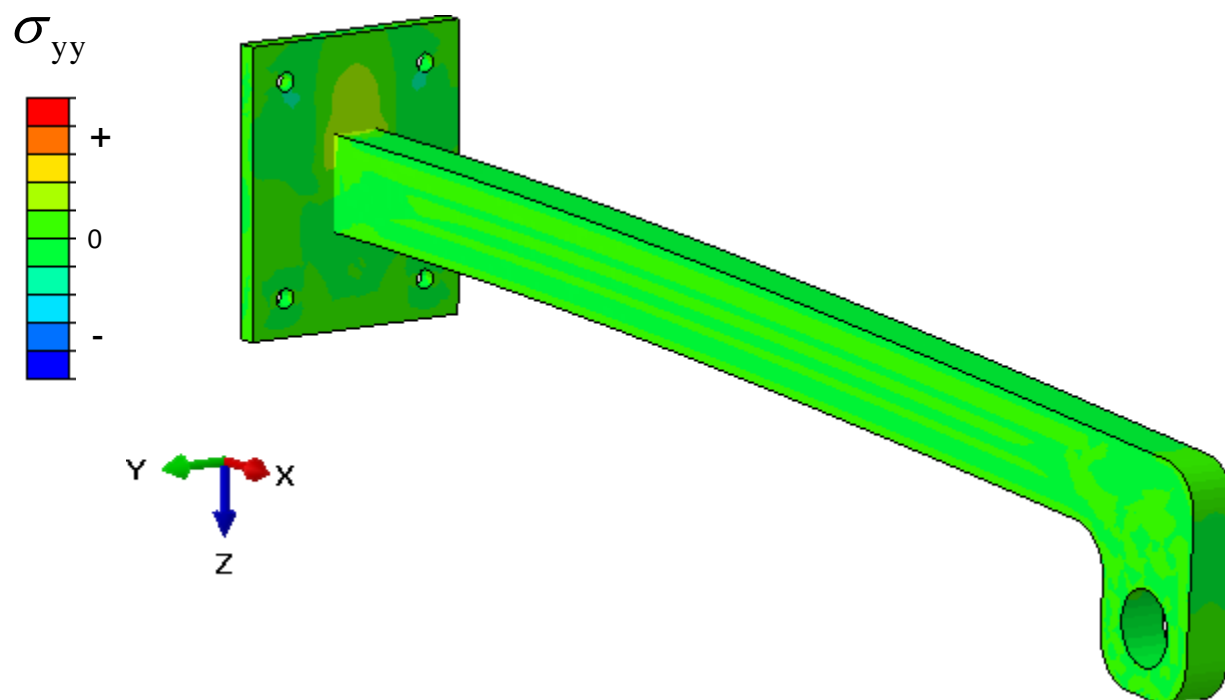
- deformacije v Kartezijevem koordinatnem sistemu



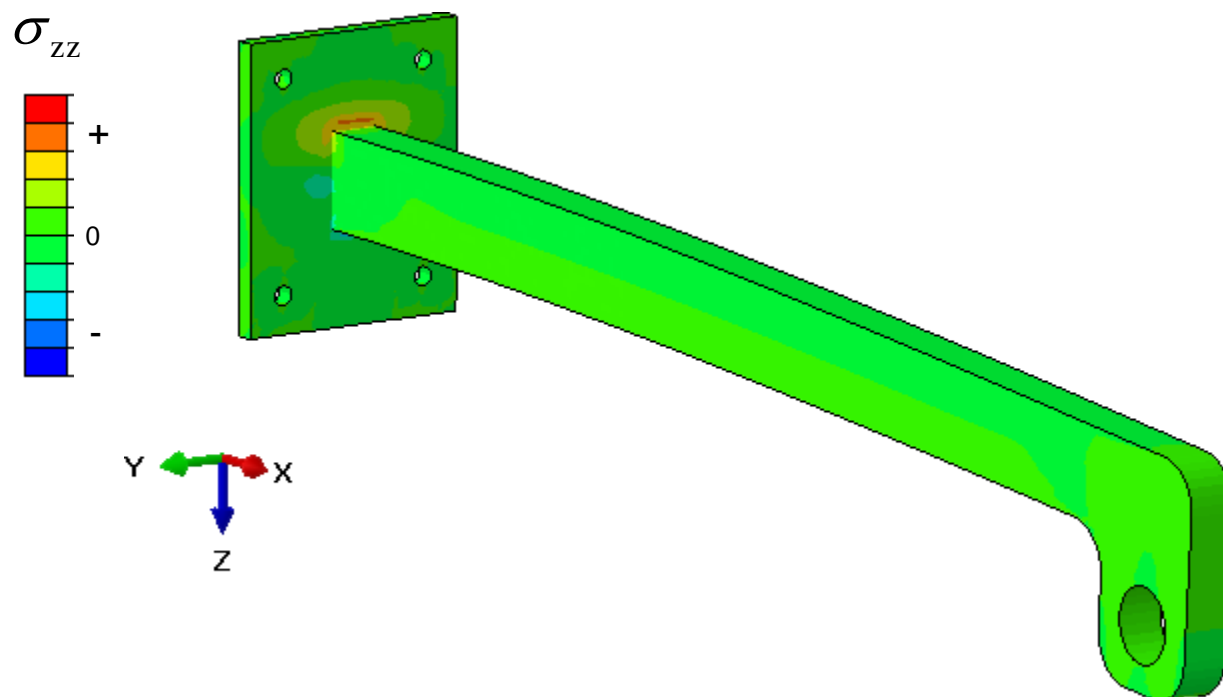
- napetosti v Kartezijevem koordinatnem sistemu



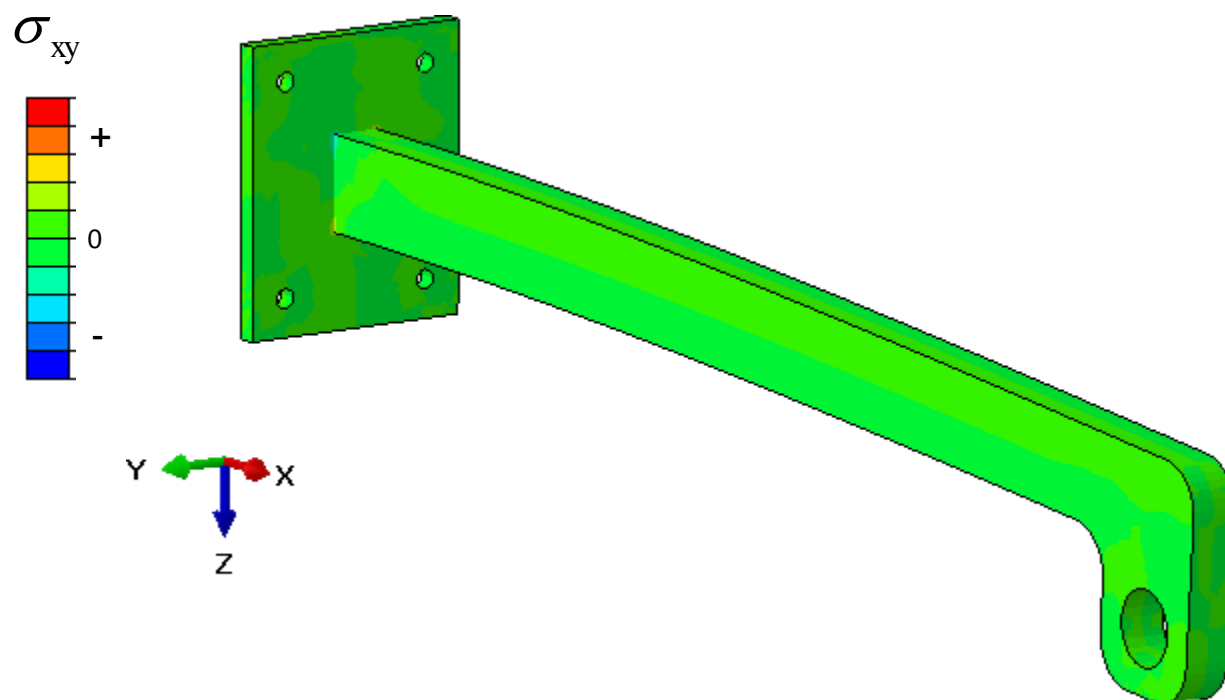
- napetosti v Kartezijevem koordinatnem sistemu



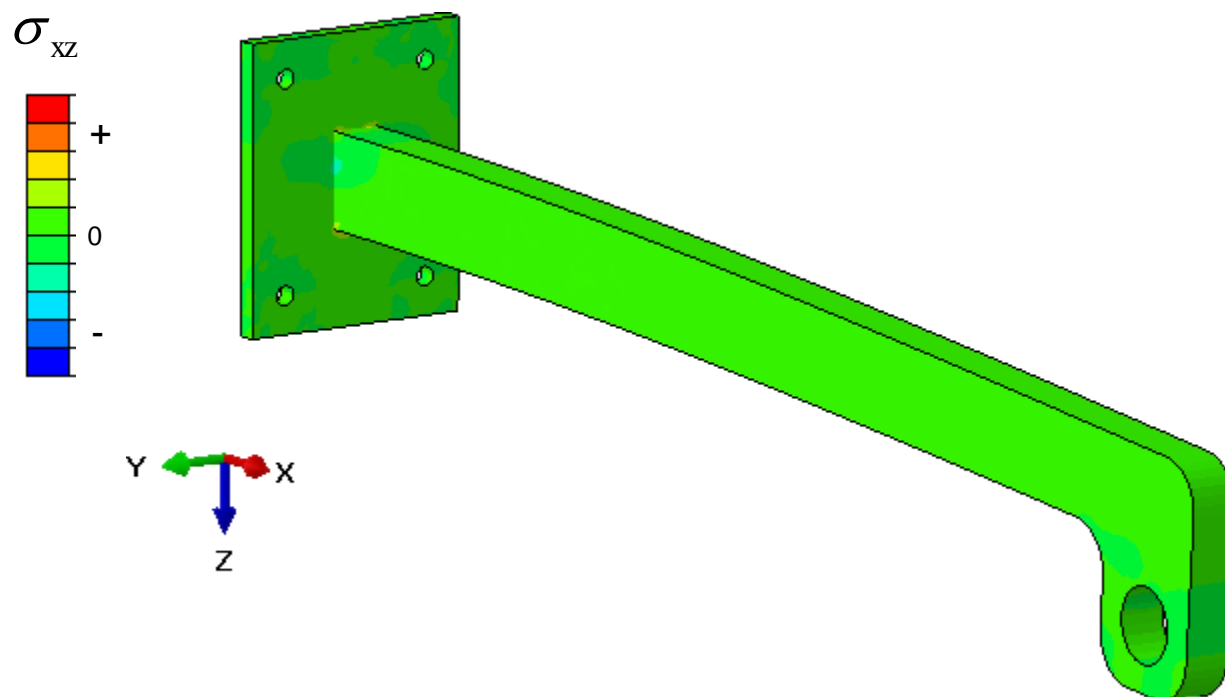
- napetosti v Kartezijevem koordinatnem sistemu



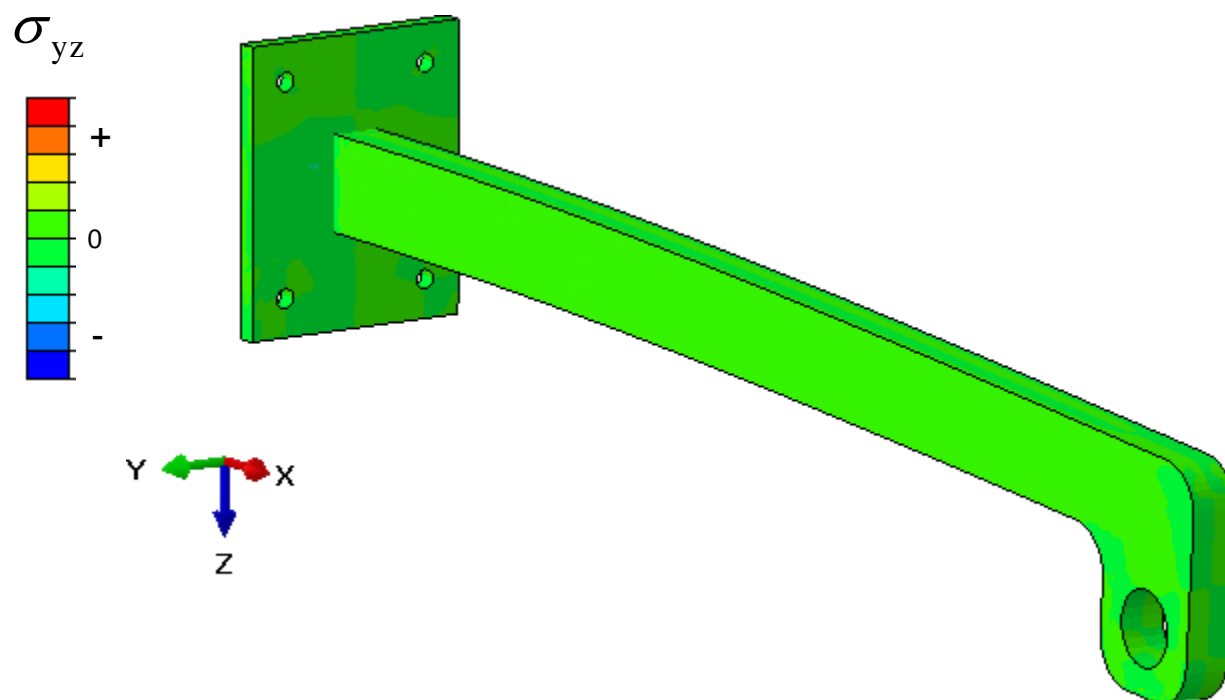
- napetosti v Kartezijevem koordinatnem sistemu



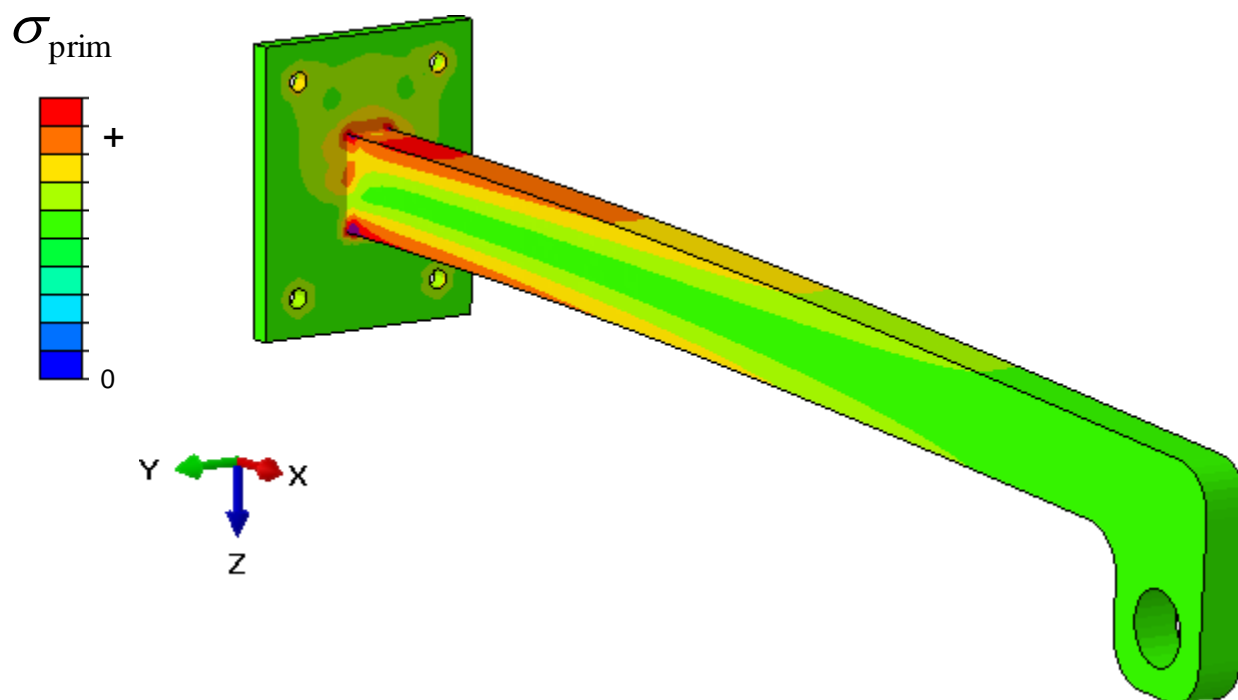
- napetosti v Kartezijevem koordinatnem sistemu



- napetosti v Kartezijevem koordinatnem sistemu



- Mises-ova primerjalna napetost



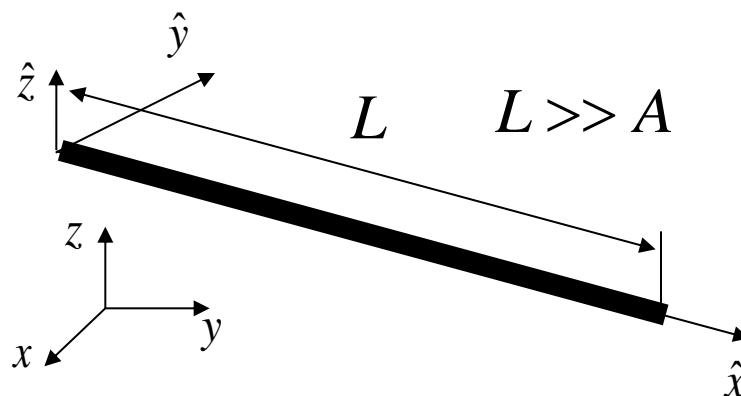
- kdaj lahko mehanski problem obravnavamo kot upogibno obremenjeni nosilec v ravni ?

- da lahko problem obravnavamo kot upogibno obremenjeni nosilec v ravni (predpostavimo da je to ravnina (x,z)) mora biti izpolnjeno:

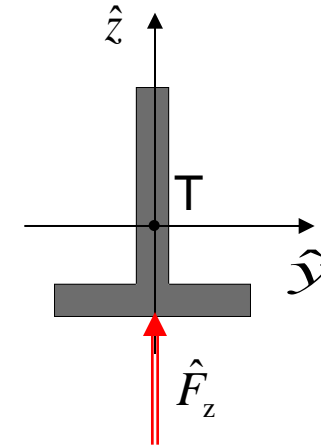
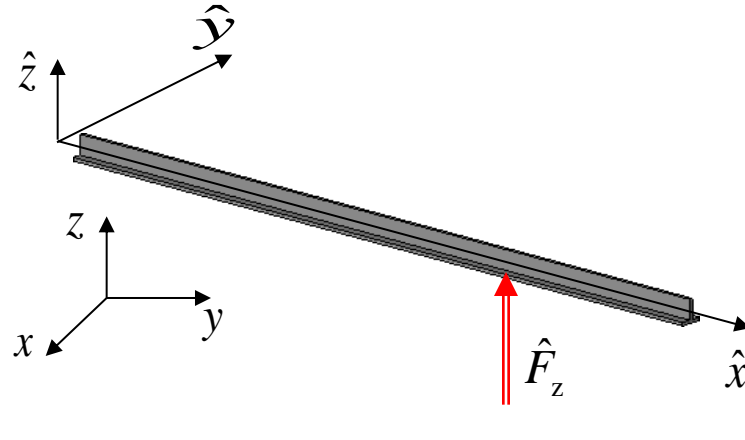
1) konstrukcijski element, imenovan nosilec, je obremenjen predvsem upogibno

2) homogen, izotropen material

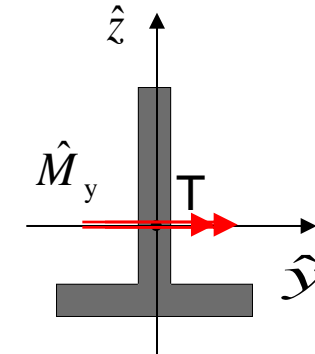
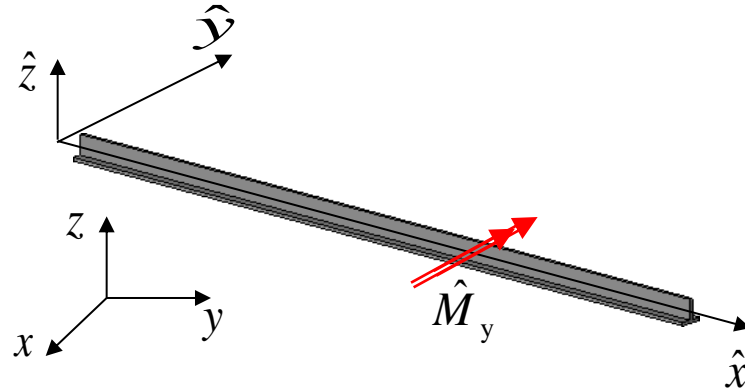
3) prerez nosilca je majhen glede na njegovo dolžino



4) obremenitev v obliki sile je usmerjena v smeri "z" koordinatne osi

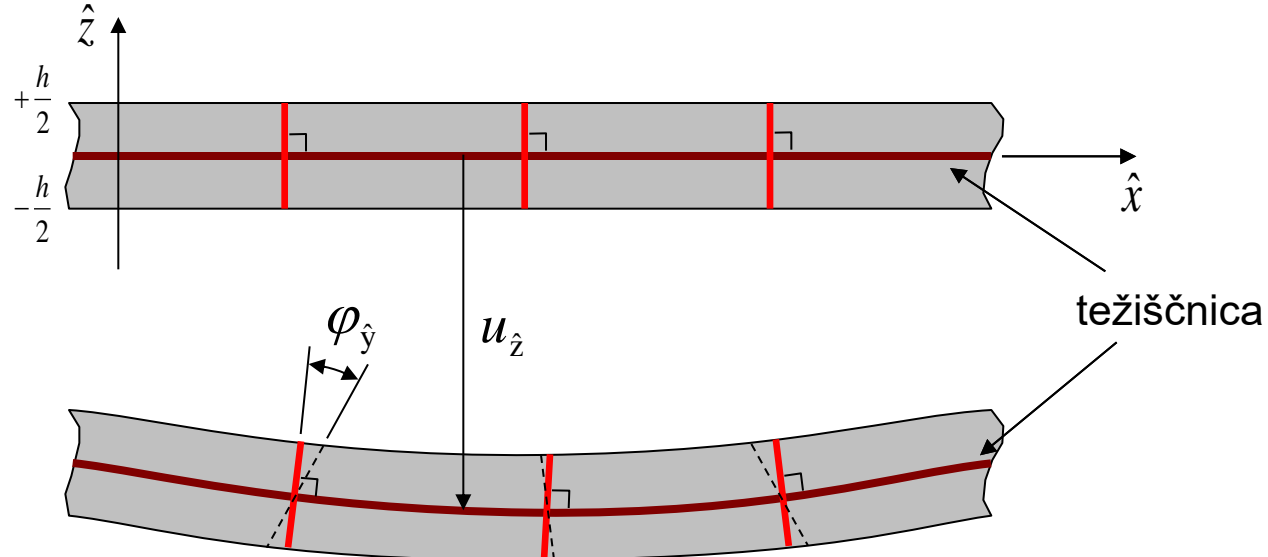


5) obremenitev v obliki momenta je usmerjena okoli "y" koordinatne osi



- upoštevajoč Timoshenk-ovo teorijo nosilcev, lahko pomike u_x v smeri osi nosilca izrazimo z zasukom f_y

$$u_{\hat{x}} = \hat{z} \varphi_{\hat{y}}$$



- Timoshenk-ova teorija nosilcev predpostavlja planost prereza v deformiranem stanju, pri čemer pa prerez v splošnem ni več pravokoten na težiščnico

- komponente deformacijskega tenzorja lahko v Kartezijevem koordinatnem sistemu zapišemo v odvisnosti od pomika v smeri "z" koordinatne osi in zasuka okoli "y" koordinatne osi

$$\varepsilon_{\hat{x}\hat{x}} = \frac{\partial u_{\hat{x}}}{\partial \hat{x}} = \hat{z} \frac{\partial \varphi_{\hat{y}}}{\partial \hat{x}}$$

$$\varepsilon_{\hat{x}\hat{y}} = 0$$

$$\varepsilon_{\hat{x}\hat{z}} = \frac{1}{2} \left(\frac{\partial u_{\hat{x}}}{\partial \hat{z}} + \frac{\partial u_{\hat{z}}}{\partial \hat{x}} \right) = \frac{1}{2} \left(\varphi_{\hat{y}} + \frac{\partial u_{\hat{z}}}{\partial \hat{x}} \right)$$

$$\varepsilon_{\hat{y}\hat{z}} = 0$$

$$\varepsilon_{\hat{y}\hat{y}} = ?$$

$$\varepsilon_{\hat{z}\hat{z}} = ?$$

$$\begin{Bmatrix} \varepsilon_{\hat{x}\hat{x}} \\ \varepsilon_{\hat{x}\hat{z}} \end{Bmatrix} = \begin{bmatrix} 0 & \hat{z} \frac{\partial}{\partial \hat{x}} \\ \frac{1}{2} \frac{\partial}{\partial \hat{x}} & \frac{1}{2} \end{bmatrix} \begin{Bmatrix} u_{\hat{z}} \\ \varphi_{\hat{y}} \end{Bmatrix} = [L] \{ \hat{u} \}$$

- od nič različni komponenti napetostnega tenzorja v Kartezijevem koordinatnem sistemu za primer upogibno obremenjenega nosilca v ravnini (x,z) sta samo σ_{xx} in σ_{xz}

$$\sigma_{ij} = \begin{cases} \sigma_{\hat{x}\hat{x}} & \sigma_{\hat{x}\hat{y}} = 0 & \sigma_{\hat{x}\hat{z}} \\ \sigma_{\hat{x}\hat{y}} = 0 & \sigma_{\hat{y}\hat{y}} = 0 & \sigma_{\hat{y}\hat{z}} = 0 \\ \sigma_{\hat{x}\hat{z}} & \sigma_{\hat{y}\hat{z}} = 0 & \sigma_{\hat{z}\hat{z}} = 0 \end{cases}$$

- za homogeni, izotropni, linearno elastični material, lahko iz zveze med napetostmi in deformacijami, ki jo definira Hookov zakon, izračunamo komponenti deformacijskega tenzorja ε_{yy} in ε_{zz}

$$\sigma_{\hat{x}\hat{x}} = \frac{E}{(1+\nu)(1-2\nu)} [(1-\nu) \varepsilon_{\hat{x}\hat{x}} + \nu \varepsilon_{\hat{y}\hat{y}} + \nu \varepsilon_{\hat{z}\hat{z}}]$$

$$\sigma_{\hat{y}\hat{y}} = 0 = \frac{E}{(1+\nu)(1-2\nu)} [\nu \varepsilon_{\hat{x}\hat{x}} + (1-\nu) \varepsilon_{\hat{y}\hat{y}} + \nu \varepsilon_{\hat{z}\hat{z}}]$$

$$\sigma_{\hat{z}\hat{z}} = 0 = \frac{E}{(1+\nu)(1-2\nu)} [\nu \varepsilon_{\hat{x}\hat{x}} + \nu \varepsilon_{\hat{y}\hat{y}} + (1-\nu) \varepsilon_{\hat{z}\hat{z}}]$$

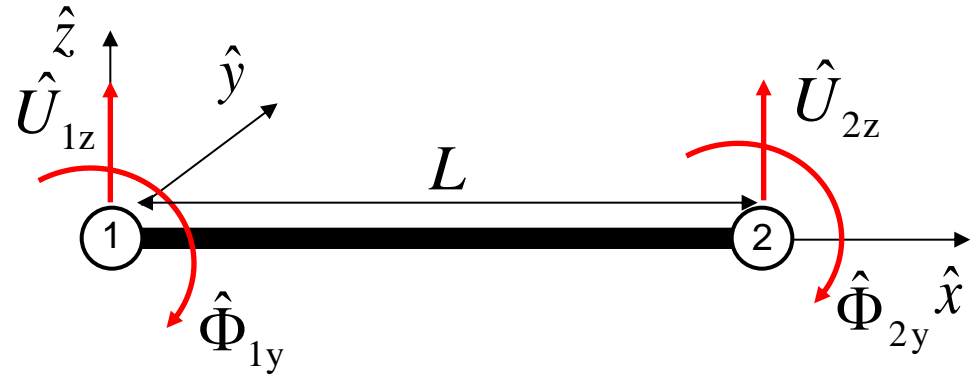
$$\varepsilon_{\hat{y}\hat{y}} = \varepsilon_{\hat{z}\hat{z}}$$

$$\sigma_{\hat{y}\hat{y}} = 0 = \frac{E}{(1+\nu)(1-2\nu)} [\nu \varepsilon_{\hat{x}\hat{x}} + (1-\nu) \varepsilon_{\hat{y}\hat{y}} + \nu \varepsilon_{\hat{z}\hat{z}}] \Rightarrow \varepsilon_{\hat{y}\hat{y}} = \varepsilon_{\hat{z}\hat{z}} = -\nu \varepsilon_{\hat{x}\hat{x}}$$

$$\sigma_{\hat{x}\hat{x}} = E \varepsilon_{\hat{x}\hat{x}}$$

- zapis enačb KE v matrični obliki v lokalnem koordinatnem sistemu nosilca, ki se upogiba v ravni (x,z)

$$\frac{EI_{\hat{y}}}{L^3} \begin{bmatrix} \hat{K}_{11} & \hat{K}_{12} & \hat{K}_{13} & \hat{K}_{14} \\ \hat{K}_{21} & \hat{K}_{22} & \hat{K}_{23} & \hat{K}_{24} \\ \hat{K}_{31} & \hat{K}_{32} & \hat{K}_{33} & \hat{K}_{34} \\ \hat{K}_{41} & \hat{K}_{42} & \hat{K}_{43} & \hat{K}_{44} \end{bmatrix} \begin{Bmatrix} \hat{U}_{1z} \\ \hat{\Phi}_{1y} \\ \hat{U}_{2z} \\ \hat{\Phi}_{2y} \end{Bmatrix} = \begin{Bmatrix} \hat{F}_{1z} \\ \hat{M}_{1y} \\ \hat{F}_{1z} \\ \hat{M}_{2y} \end{Bmatrix}$$



- transformacija pomikov in zasukov iz lokalnega v globalni koordinatni sistem obravnavanega problema

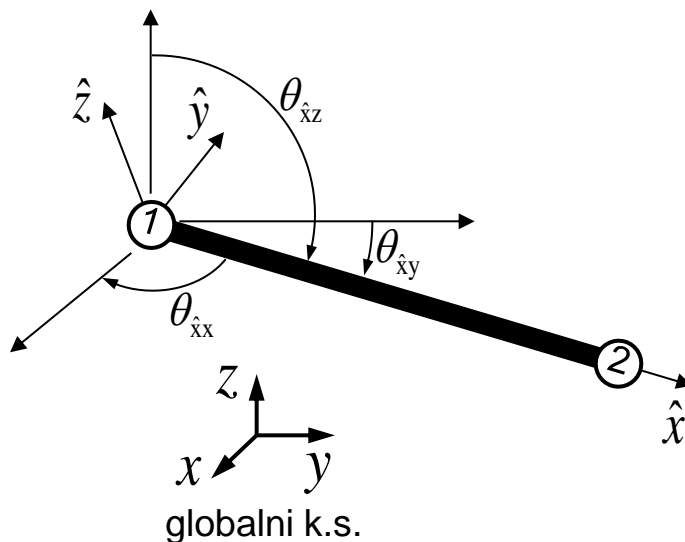
$$\begin{Bmatrix} \hat{U}_{1z} \\ \hat{\Phi}_{1y} \\ \hat{U}_{2z} \\ \hat{\Phi}_{2y} \end{Bmatrix} = \begin{bmatrix} [T] & [0] & [0] & [0] \\ [0] & [T] & [0] & [0] \\ [0] & [0] & [T] & [0] \\ [0] & [0] & [0] & [T] \end{bmatrix} \begin{Bmatrix} U_{1x} \\ U_{1y} \\ U_{1z} \\ \Phi_{1x} \\ \Phi_{1y} \\ \Phi_{1z} \\ U_{2x} \\ U_{2y} \\ U_{2z} \\ \Phi_{2x} \\ \Phi_{2y} \\ \Phi_{2z} \end{Bmatrix}$$

- transformacija sil in momentov iz lokalnega v globalni koordinatni sistem obravnavanega problema

$$\begin{Bmatrix} \hat{F}_{1z} \\ \hat{M}_{1y} \\ \hat{F}_{2z} \\ \hat{M}_{2y} \end{Bmatrix} = \begin{bmatrix} [T] & [0] & [0] & [0] \\ [0] & [T] & [0] & [0] \\ [0] & [0] & [T] & [0] \\ [0] & [0] & [0] & [T] \end{bmatrix} \begin{Bmatrix} F_{1x} \\ F_{1y} \\ F_{1z} \\ M_{1x} \\ M_{1y} \\ M_{1z} \\ F_{2x} \\ F_{2y} \\ F_{2z} \\ M_{2x} \\ M_{2y} \\ M_{2z} \end{Bmatrix}$$

- transformacija matrika iz lokalnega v globalni koordinatni sistem

$$[T] = \begin{bmatrix} \cos \theta_{\hat{x}x} & \cos \theta_{\hat{x}y} & \cos \theta_{\hat{x}z} \\ \cos \theta_{\hat{y}x} & \cos \theta_{\hat{y}y} & \cos \theta_{\hat{y}z} \\ \cos \theta_{\hat{z}x} & \cos \theta_{\hat{z}y} & \cos \theta_{\hat{z}z} \end{bmatrix}$$



- matrični zapis enačbe KE za linearo elastični statično samo upogibno obremenjeni nosilec
- za posamezni KE dobimo toliko enačb, kolikor ima KE prostostnih stopenj
- v vozlišču KE je neznanih šest primarnih veličin – trije pomiki in trije zasuki, tako da ima posamezni KE $(6 \cdot N_v)$ prostostnih stopenj

$$[K]_e \{U\}_e = \{F\}_e$$

$$\{U\}_e = \begin{Bmatrix} U_{1x} \\ U_{1y} \\ U_{1z} \\ \Phi_{1x} \\ \Phi_{1y} \\ \Phi_{1z} \\ U_{2x} \\ U_{2y} \\ U_{2z} \\ \Phi_{2x} \\ \Phi_{2y} \\ \Phi_{2z} \end{Bmatrix}_e$$

$$\{F\}_e = \begin{Bmatrix} F_{1x} \\ F_{1y} \\ F_{1z} \\ M_{1x} \\ M_{1y} \\ M_{1z} \\ F_{2x} \\ F_{2y} \\ F_{2z} \\ M_{2x} \\ M_{2y} \\ M_{2z} \end{Bmatrix}_e$$

- posamezni element vektorja $\{F\}_e$ predstavlja v vozlišču KE delujočo silo oziroma moment

- v primeru, da je velikost pomika v smeri "z" koordinatne osi v vozlišču KE poznana, velikost sile v tej smeri ni poznana

$$U_{iz} = \checkmark \Rightarrow F_{iz} = ? , \quad i = 1, \dots, N_v$$

- v primeru, da je velikost zasuka okoli osi vzporedne "y" koordinatni osi v vozlišču KE poznana, velikost momenta okoli te osi ni poznana

$$\Phi_{iy} = \checkmark \Rightarrow M_{iy} = ? , \quad i = 1, \dots, N_v$$

- v primeru, da velikost pomika v vozlišču KE ni poznana, je velikost sile v tej smeri možno izračunati

$$U_{iz} = ? \quad \Rightarrow \quad F_{iz} = \checkmark, \quad i=1, \dots, N_v$$

- v primeru točkovne mehanske obremenitve v obliki sile mrežo KE generiramo tako, da točka, v kateri deluje točkovna obremenitev, sovpada z vozliščem KE

$$F_{Iz} = F_{Tz}, \quad I = \{1, \dots, N_{KE}\}$$

- v primeru, da velikost zasuka v vozlišču KE ni poznana, je velikost momenta možno izračunati

$$\Phi_{iy} = ? \quad \Rightarrow \quad M_{iy} = \checkmark, \quad i=1, \dots, N_v$$

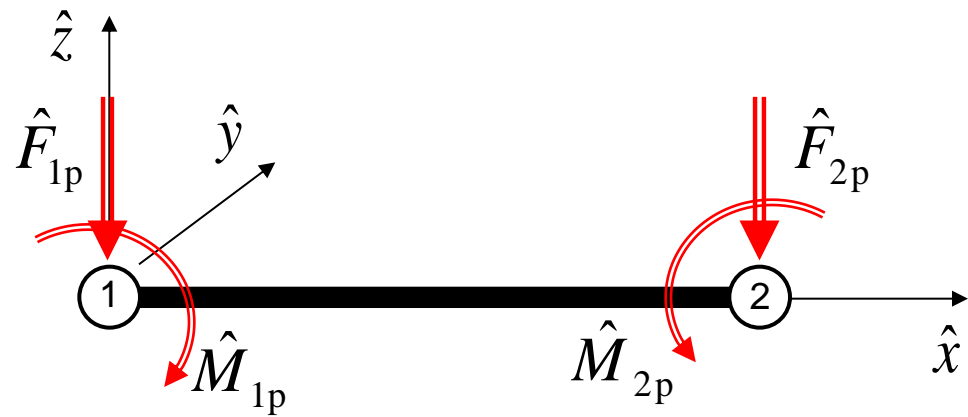
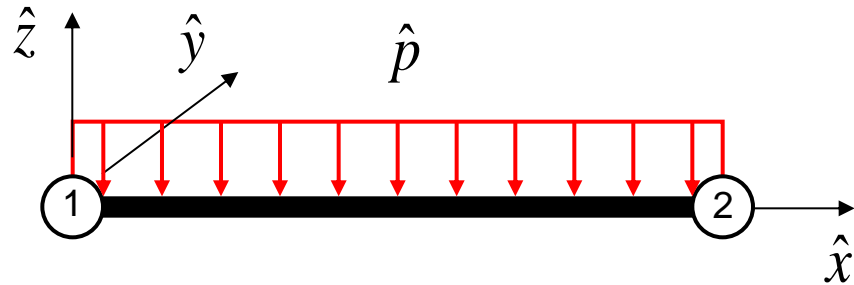
- v primeru točkovne mehanske obremenitve v obliki momenta mrežo KE generiramo tako, da točka, v kateri deluje točkovna momentna obremenitev, sovpada z vozliščem KE

$$M_{Iy} = M_{Ty}, \quad I = \{1, \dots, N_{KE}\}$$

- v primeru linijsko porazdeljene mehanske obremenitve, ki deluje v smeri "z" koordinatne osi, izračunamo ekvivalentni vozliščni sili in momenta za posamezni KE

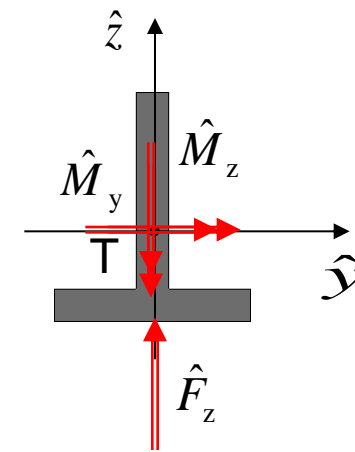
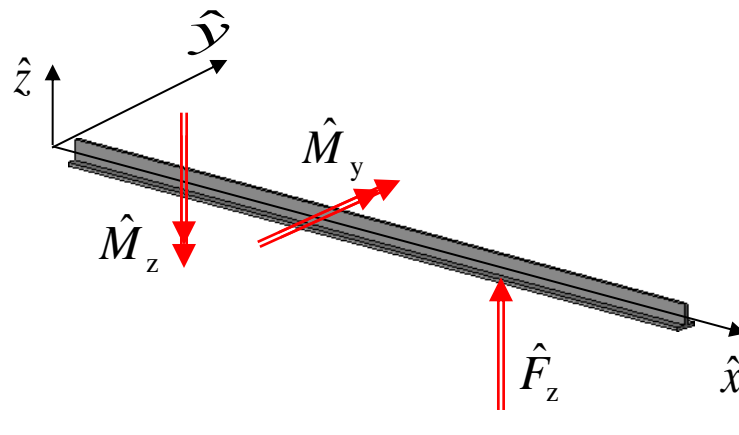
$$\{\hat{F}_p\}_e = \int_0^L \hat{p} [N_U]^T d\hat{x}$$

$$\{\hat{M}_p\}_e = \int_0^L \hat{p} [N_\Phi]^T d\hat{x}$$

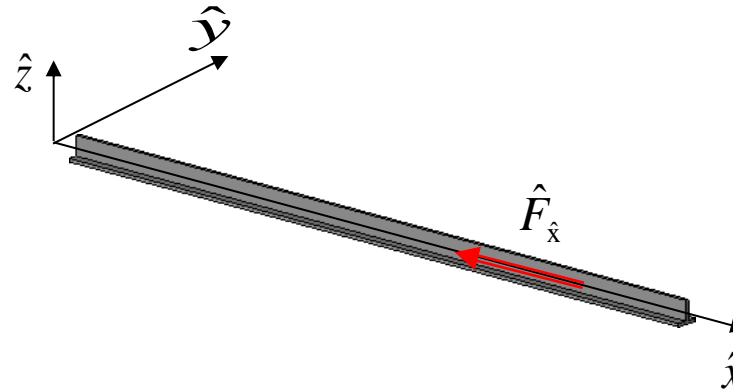


- možne obremenitve nosilca v prostoru:

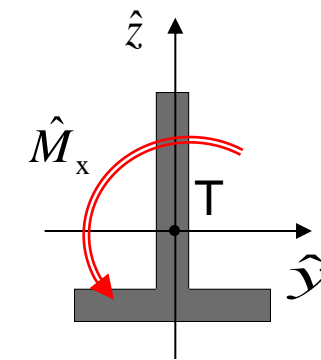
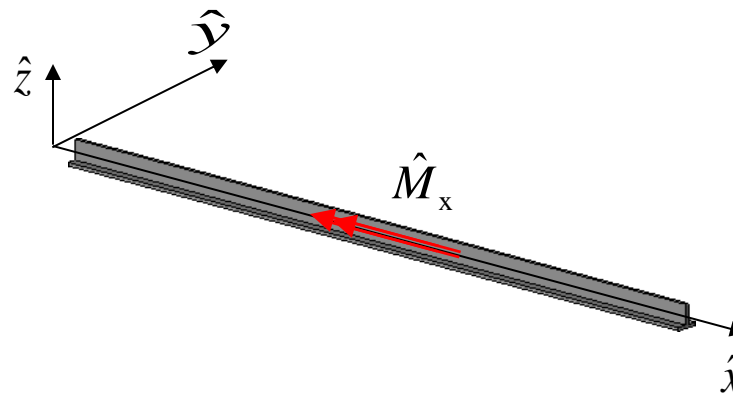
1) upogibna obremenitev - obremenitev pravokotna na os nosilca, pri čemer lahko to obremenitev vedno razdelimo tako, da deluje v dveh, med seboj pravokotnih ravninah



2) osna obremenitev - obremenitev v smeri osi nosilca



3) torzijska - obremenitev okoli osi nosilca



- matrični zapis enačbe KE za linearo elastični statično poljubno obremenjeni nosilec

1) upogibna obremenitev v ravnini (x,y) in (x,z)

$$\frac{EI_{\hat{z}}}{L^3} \begin{bmatrix} \hat{K}_{11} & \hat{K}_{12} & \hat{K}_{13} & \hat{K}_{14} \\ \hat{K}_{21} & \hat{K}_{22} & \hat{K}_{23} & \hat{K}_{24} \\ \hat{K}_{31} & \hat{K}_{32} & \hat{K}_{33} & \hat{K}_{34} \\ \hat{K}_{41} & \hat{K}_{42} & \hat{K}_{43} & \hat{K}_{44} \end{bmatrix} \begin{Bmatrix} \hat{U}_{1y} \\ \hat{\Phi}_{1z} \\ \hat{U}_{2y} \\ \hat{\Phi}_{2z} \end{Bmatrix} = \begin{Bmatrix} \hat{F}_{1y} \\ \hat{M}_{1z} \\ \hat{F}_{1y} \\ \hat{M}_{2z} \end{Bmatrix}$$

$$\frac{EI_{\hat{y}}}{L^3} \begin{bmatrix} \hat{K}_{11} & \hat{K}_{12} & \hat{K}_{13} & \hat{K}_{14} \\ \hat{K}_{21} & \hat{K}_{22} & \hat{K}_{23} & \hat{K}_{24} \\ \hat{K}_{31} & \hat{K}_{32} & \hat{K}_{33} & \hat{K}_{34} \\ \hat{K}_{41} & \hat{K}_{42} & \hat{K}_{43} & \hat{K}_{44} \end{bmatrix} \begin{Bmatrix} \hat{U}_{1z} \\ \hat{\Phi}_{1y} \\ \hat{U}_{2z} \\ \hat{\Phi}_{2y} \end{Bmatrix} = \begin{Bmatrix} \hat{F}_{1z} \\ \hat{M}_{1y} \\ \hat{F}_{1z} \\ \hat{M}_{2y} \end{Bmatrix}$$

2) osna obremenitev

$$\frac{EA}{L} \begin{bmatrix} +1 & -1 \\ -1 & +1 \end{bmatrix} \begin{Bmatrix} \hat{U}_{1x} \\ \hat{U}_{2x} \end{Bmatrix} = \begin{Bmatrix} \hat{F}_{1x} \\ \hat{F}_{2x} \end{Bmatrix}$$

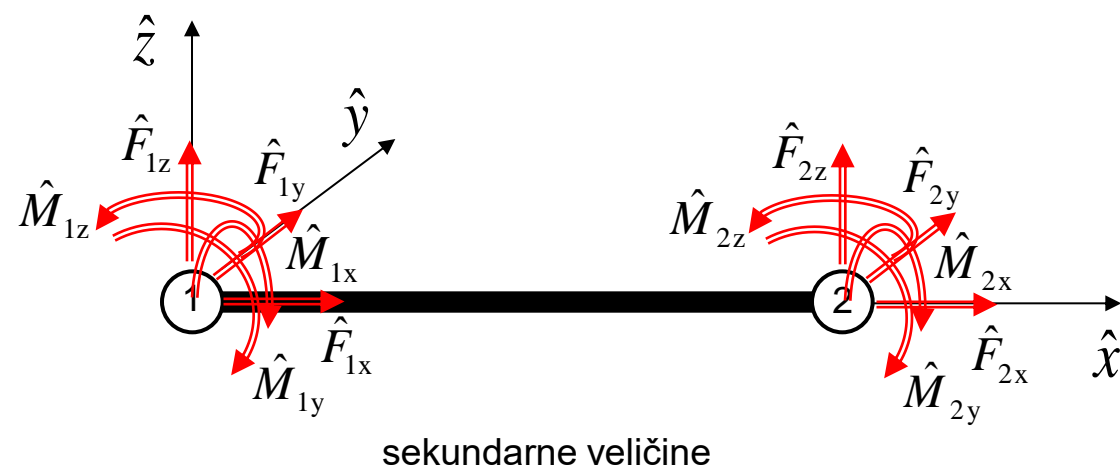
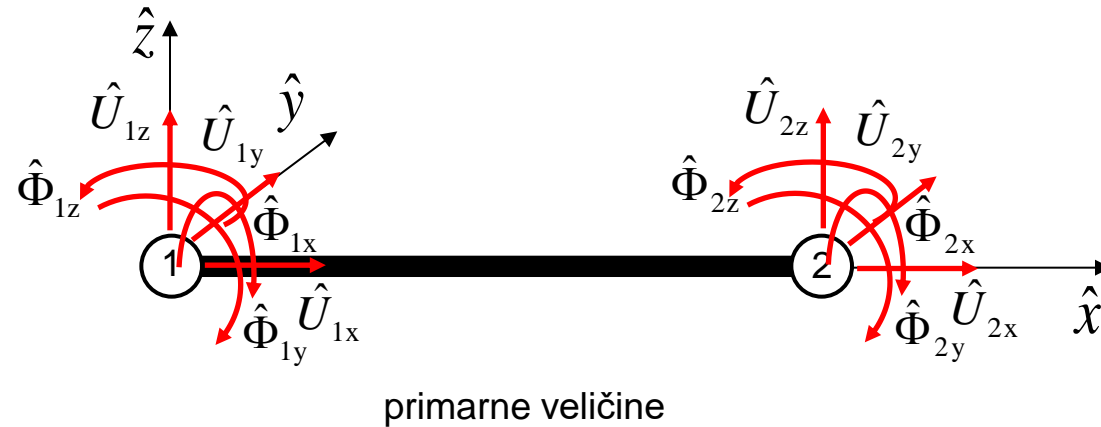
3) torzijska obremenitev

$$\frac{GJ_{\hat{x}}}{L} \begin{bmatrix} +1 & -1 \\ -1 & +1 \end{bmatrix} \begin{Bmatrix} \hat{\Phi}_{1x} \\ \hat{\Phi}_{2x} \end{Bmatrix} = \begin{Bmatrix} \hat{M}_{1x} \\ \hat{M}_{2x} \end{Bmatrix}$$

- zapis sistema enačb za KE v lokalnem koordinatnem sistemu

$$\left[\begin{array}{cccc} \hat{K}_{\text{osna}} & [0] & [0] & [0] \\ [0] & \hat{K}_{\text{upogib (x, y)}} & [0] & [0] \\ [0] & [0] & \hat{K}_{\text{upogib (x, z)}} & [0] \\ [0] & [0] & [0] & \hat{K}_{\text{torzija}} \end{array} \right] \left\{ \begin{array}{c} \hat{U}_{1x} \\ \hat{U}_{2x} \\ \hat{U}_{1y} \\ \hat{\Phi}_{1z} \\ \hat{U}_{2y} \\ \hat{\Phi}_{2z} \\ \hat{U}_{1z} \\ \hat{\Phi}_{1y} \\ U_{2z} \\ \hat{\Phi}_{2y} \\ \hat{\Phi}_{1x} \\ \hat{\Phi}_{2x} \end{array} \right\}_e = \left\{ \begin{array}{c} \hat{F}_{1x} \\ \hat{F}_{2x} \\ \hat{F}_{1y} \\ \hat{M}_{1z} \\ \hat{F}_{2y} \\ \hat{M}_{2z} \\ \hat{F}_{1z} \\ \hat{M}_{1y} \\ \hat{F}_{2z} \\ \hat{M}_{2y} \\ \hat{M}_{1x} \\ \hat{M}_{2x} \end{array} \right\}_e$$

- primarne in sekundarne veličine v vozliščih KE v lokalnem koordinatnem sistemu



- sistem enačb za obravnavani KE za reševanje linearne elastičnosti statično obremenjenih problemov
- za posamezni KE dobimo toliko enačb, kolikor ima KE prostostnih stopenj
- pri preslikavi iz lokalnega koordinatnega sistema KE v globalni koordinatni sistem dobimo v posameznem vozlišču KE šest primarnih veličin – tri pomike v smereh globalnih koordinatnih osi in tri zasuke okoli globalnih koordinatnih osi
- v vozlišču KE je tako šest primarnih veličin, tako da ima posamezni KE $(6 \cdot N_v)$ prostostnih stopenj

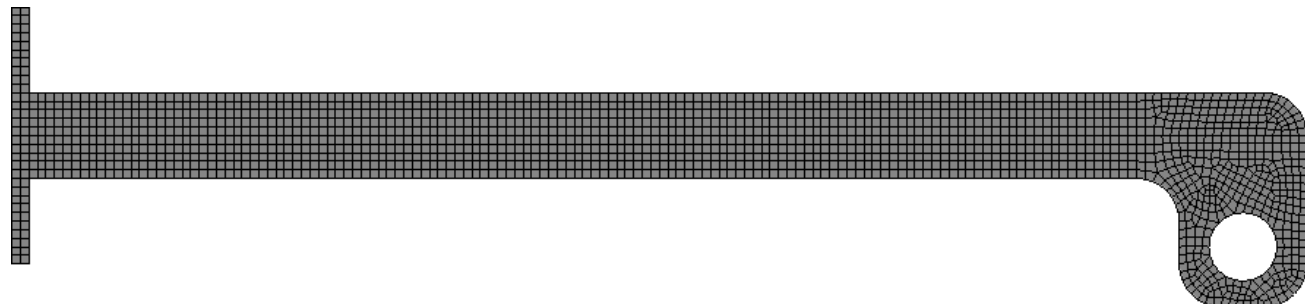
- primer reševanja upogibno obremenjenega nosilca z MKE

3D KE:

16400 KE (6 pl., 8 vozl.)

12300 vozlišč

36900 enačb



1D KE:

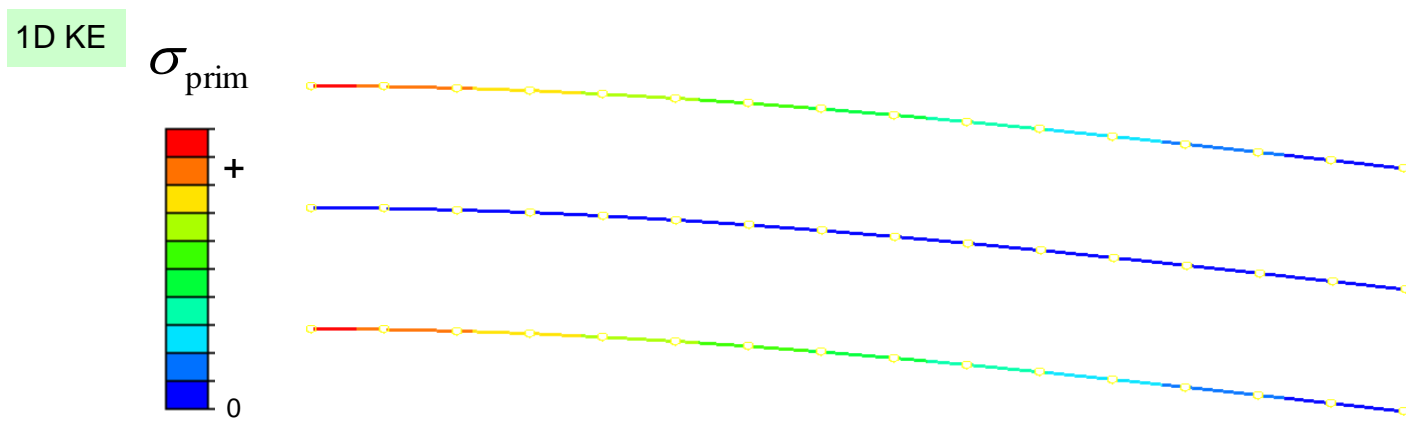
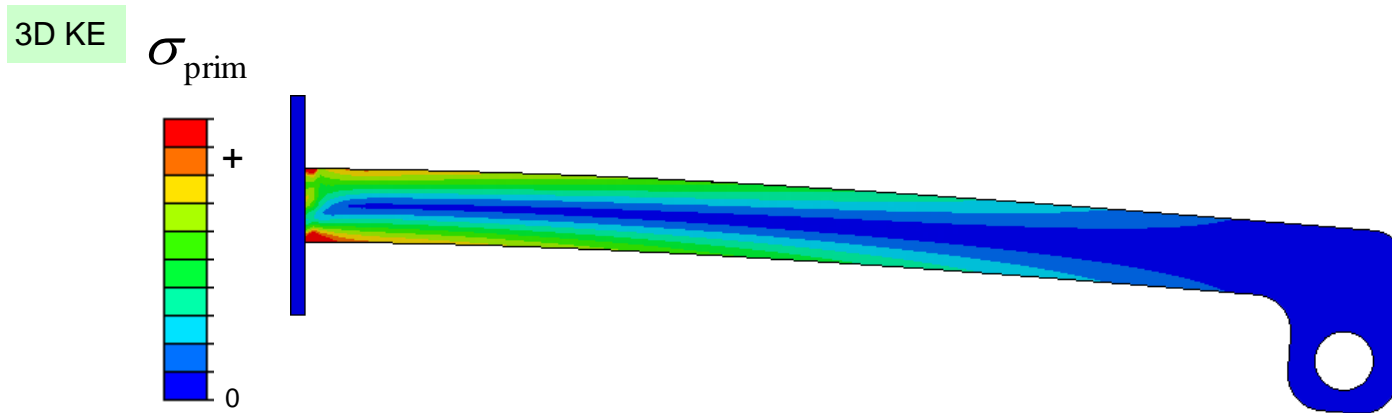
15 KE (2 vozl.)

16 vozlišč

96 enačb



- primerjava Mises-ove primerjalne napetosti: 3D KE \longleftrightarrow 1D KE



- primerjava pomikov : 3D KE \longleftrightarrow 1D KE

